

Journal of Natural Environmental Hazards, Vol.14, Issue 44, June 2025

Analysis of Precipitation Extremes Trends in the Persian Gulf and Oman Sea Basin in Southern Iran

Peyman Mahmoudi^{1*}, Ebrahim Fattahi², Mohsen Heydari³, Allahbakhsh Rigi⁴, Atefeh Ansari⁵, Alireza Ghaemi⁶, Jabbar Rezaei⁷

1. Corresponding Author, Associate Professor, Department of Physical Geography, University of Sistan and Baluchestan, Zahedan, Iran

2. Associate Professor, Atmospheric Science and Meteorological Research Center, Tehran, Iran

3. MSc. of Agricultural Engineering, Sistan and Baluchestan Province Meteorological Administration, Zahedan, Iran

4. MSc. of Mathematics, Sistan and Baluchestan Province Meteorological Administration, Zahedan, Iran

5. MSc. of Climatology, Department of Physical Geography, University of Sistan and Baluchestan, Zahedan, Iran

6. Postdoc Researcher, Department of Physical Geography, University of Sistan and Baluchestan, Zahedan, Iran

7. PhD student of Climatology, Geography Department, University of Zanjan, Zanjan, Iran

Article Info

ABSTRACT

Article type:

Research Article

Article history:

Received: 05 May 2024

Revised: 01 December 2024

Accepted: 02 January 2025

Keywords:

Sen's slope estimator, Trend, Climate change, Precipitation extremes, Iran.

In this research, to analyze the trends of precipitation extremes in the Persian Gulf and Oman Sea Basin, daily precipitation data from 47 meteorological stations over 30 years (1993-2022) were used. Fifteen precipitation extreme indices were extracted for all the studied stations, and their long-term trends were analyzed using Sen's slope estimator. The results indicated a decreasing trend in the annual total precipitation on wet days for the western and central parts and an increasing trend for the eastern parts of the Persian Gulf and Oman Sea Basin. Consistent with the decreasing trend in annual total precipitation, these two parts of the studied basin experienced a decrease in the number of days with heavy rains (more than 10 mm), very heavy rains (more than 20 mm), extremely heavy rains (more than 30 mm), and maximum consecutive 1-day, 3-day, and 5-day precipitations. However, in the eastern part of the studied basin, the trend of maximum length of dry spells was decreasing. In line with this trend, the number of days with heavy rains (more than 10 mm), very heavy rains (more than 20 mm), extremely heavy rains (more than 30 mm), and maximum consecutive 1-day, 3-day, and 5-day precipitations also showed increasing trends.

Cite this article: Mahmoudi, P. , Fattahi, E. , Heydari, M. , Rigi, A. , Ansari, A. , Ghaemi, A. and Rezaei, J. (2025). Analysis of Precipitation Extremes Trends in the Persian Gulf and Oman Sea Basin in Southern Iran. Journal of Natural Environmental Hazards, 14(44), 63-88. DOI: 10.22111/jneh.2025.48651.2043



© Peyman Mahmoudi*

DOI: 10.22111/jneh.2025.48651.2043

Publisher: University of Sistan and Baluchestan

* Corresponding Author Email: p_mahmoudi@gep.usb.ac.ir

مجله علمی پژوهشی مخاطرات محیط طبیعی، دوره ۱۴، شماره ۴۴، تیر ۱۴۰۴

تحلیل روند فرین های بارشی در حوضه آبریز خلیج فارس و دریای عمان در جنوب ایران

پیمان محمودی^{۱*}، ابراهیم فتاحی^۲، محسن حیدری^۳، اله بخش ریگی^۴، عاطفه انصاری^۵، علیرضا قائمی^۶، جبار رضایی^۷

۱. دانشیار، گروه جغرافیای طبیعی، دانشگاه سیستان و بلوچستان، زاهدان، ایران (نویسنده مسئول)

۲. دانشیار، اقلیم شناسی پژوهشگاه هوشنگی و علوم جو، تهران، ایران

۳. دانش آموخته کارشناسی ارشد مهندسی کشاورزی، اداره کل هوشنگی استان سیستان و بلوچستان، زاهدان، ایران

۴. دانش آموخته کارشناسی ارشد ریاضی، اداره کل هوشنگی استان سیستان و بلوچستان، زاهدان، ایران

۵. دانش آموخته کارشناسی ارشد اقلیم شناسی، گروه جغرافیای طبیعی، دانشگاه سیستان و بلوچستان، زاهدان، ایران

۶. پژوهشگر پسا دکتری، گروه جغرافیای طبیعی، دانشگاه سیستان و بلوچستان، زاهدان، ایران

۷. دانشجوی دکتری اقلیم شناسی، گروه جغرافیا، دانشگاه زنجان، زنجان، ایران

اطلاعات مقاله

نوع مقاله: مقاله پژوهشی

در این پژوهش جهت تحلیل روند فرین های بارشی حوضه آبریز خلیج فارس و دریای عمان در جنوب ایران

از داده های بارش روزانه ۴۷ ایستگاه هوشنگی برای یک دوره ۳۰ ساله (۱۹۹۳-۲۰۲۲) استفاده شد.

نمایه فرین بارشی برای تمامی ایستگاه های مورد مطالعه استخراج و با استفاده از برآورده شدنده شیب سن

رون و تغییرات بلندمدت آنها مورد تحلیل قرار گرفتند. نتایج حاکی از وجود روند کاهشی در مقدار مجموع

بارش سالانه برای بخش های غربی و مرکزی و وجود روند افزایشی برای بخش های شرقی حوضه آبریز

خلیج فارس و دریای عمان بوده است. هم راستا با روند کاهشی در مقدار مجموع بارش سالانه، این دو

بخش از حوضه آبریز مورد مطالعه، تعداد روزه های با بارش های سنگین (بیشتر از ۱۰ میلیمتر)، بسیار

سنگین (بیشتر از ۲۰ میلیمتر)، فوق سنگین (بیشتر از ۳۰ میلیمتر)، حداکثر بارش های یک روزه، سه

روزه و پنج روزه آنها نیز کاهش پیدا کرده است. اما در بخش شرقی حوضه آبریز مورد مطالعه، روند حداکثر

طول دوره های خشک کاهشی بوده است. هم راستا با این روند، تعداد روزه های با بارش های سنگین (بیشتر

از ۱۰ میلیمتر)، بسیار سنگین (بیشتر از ۲۰ میلیمتر)، فوق سنگین (بیشتر از ۳۰ میلیمتر)، حداکثر بارش

های یک روزه، سه روزه و پنج روزه نیز روند افزایشی داشته اند.

تاریخ دریافت: ۱۴۰۳/۰۲/۱۶

تاریخ ویرایش: ۱۴۰۳/۰۹/۱۱

تاریخ پذیرش: ۱۴۰۳/۱۰/۱۳

واژه های کلیدی:

تخمینگر شیب سن، روند،

تغییر اقلیم، فرین های بارش،

ایران.

استناد: محمودی، پیمان، فتاحی، ابراهیم، حیدری، محسن، ریگی، اله بخش، انصاری، عاطفه، قائمی، علیرضا و رضائی، جبار. (۱۴۰۴). تحلیل روند

نمایه های فرین بارشی در حوضه آبریز خلیج فارس و دریای عمان در جنوب ایران. مخاطرات محیط طبیعی، ۴۴(۱۴)، ۸۸-۶۳.

DOI: 10.22111/jneh.2025.48651.2043



ناشر: دانشگاه سیستان و بلوچستان © پیمان محمودی، ابراهیم فتاحی، محسن حیدری، اله بخش ریگی، عاطفه انصاری، علیرضا قائمی، جبار رضائی.

مقدمه

وقوع سیل‌های ناشی از بارش‌های سیل‌آسا یکی از فراوان‌ترین مخاطره‌های اقلیمی در ایران به‌شمار می‌رود (اصلاحی و همکاران، ۱۴۰۱؛ دارند، ۱۳۹۴). این مخاطره اقلیمی هر ساله خسارت‌های جانی و مالی زیادی بر ساختار اقتصادی، اجتماعی و زیستمحیطی این کشور تحمیل می‌کند (ملویل^۱، ۱۹۸۴؛ اصغرپور و اژدری، ۲۰۱۱؛ عبادی و همکاران، ۲۰۲۰). به‌طوری‌که، بر اساس داده‌های بانک اطلاعاتی سازمان جنگل‌ها و مراتع کشور طی چند دهه گذشته به‌طور متوسط خسارت‌های ناشی از سیل بالغ بر ۱۰۰۰۰ میلیارد ریال در سال بوده است و از سال ۱۳۳۰ لغاًیت ۱۳۸۳ باعث کشته شدن ۱۱ هزار و ۷۳۹ نفر و مفقودالاثر شدن ۲۳۸۱ نفر دیگر شده است. دو میلیون و ۳۰۰ هزار هکتار از مزارع کشور در همین بازه زمانی آسیب دیده و یک میلیون و ۵۸۰ هزار رأس دام نیز تلف شده است. وقوع سیل ویرانگر استان گلستان در ۲۰ مرداد ۱۳۸۰ که منجر به کشته و مفقودالاثر شدن بیش از ۵۰۰ نفر شد، هنوز هم به عنوان بزرگ‌ترین فاجعه سیل در کشور شناخته می‌شود. این سیل طبق اعلام سازمان ملل متعدد در سال ۲۰۰۱ رتبه یک تلفات انسانی ناشی از سیل در جهان را به خود اختصاص داد. سیل سال‌های ۱۳۶۶ میدان تجریش تهران، ۱۳۸۱، ۱۳۸۲ و ۱۳۸۴ استان گلستان، ۱۳۹۵ جنوب استان سیستان و بلوچستان، ۱۳۹۶ شمال غرب، ۱۳۹۷ شمال شرق و سیل اواخر اسفند ۱۳۹۷ و فروردین ۱۳۹۸ در شمال، غرب و جنوب ایران از دیگر سیل‌های پر خسارت چند دهه گذشته ایران بوده‌اند (سازمان منابع طبیعی و آبخیزداری کشور، ۱۴۰۰).

نتایج تحقیقات در بسیاری از نقاط جهان نشان می‌دهند که جو گرمتر در افزایش بارش‌های فرین در مقیاس‌های جهانی و منطقه‌ای تأثیرات اساسی داشته است؛ زیرا هوای گرمتر رطوبت بیشتری را در خود نگه می‌دارد و رطوبت بیشتر به معنای آب بیشتری است که می‌تواند به صورت باران ظاهر شود (وو و لاو، ۲۰۱۶؛ گرویسمان^۲ و همکاران، ۲۰۱۰؛ مانتون^۳ و همکاران، ۲۰۱۰؛ پریور^۴ و همکاران، ۲۰۰۹). نتایج تحقیقات ترنبرث^۵ (۲۰۱۱) نشان داده است که به ازای هر یک درجه سانتی‌گراد افزایش دمای جو زمین، ظرفیت جو برای نگهداشت رطوبت در حدود ۷ درصد افزایش خواهد یافت. بررسی تحقیقات و گزارش‌های علمی نشان می‌دهند که فراوانی و شدت رویدادهای فرین اقلیمی در نتیجه افزایش دما در مقیاس جهانی افزایش یافته است (احمدی و همکاران، ۲۰۱۸). گزارش ویژه رویدادهای فرین هیئت بین‌الدول تغییر اقلیم (IPCC) در سال ۲۰۱۲ و همچنین گزارش پنجم آن در سال ۲۰۱۴ نیز افزایش رویدادهای فرین را در بخش‌های گستردگی از کره زمین تایید کرده است (صادقی و همکاران، ۱۳۹۸). جنوب رویدادهای فرین را به خصوص ایران نیز از این قاعده مستثناء نبوده و تغییر اقلیم باعث افزایش در فراوانی رخدادهای فرین آب‌وهوایی آن همچون دما و بارش شده است (زتیس^۶ و همکاران، ۲۰۲۲). این افزایش در رخدادهای فرین آب‌وهوایی به خصوص فراوانی وقوع در بارش‌های فرین، ایران را به یکی از آسیب‌پذیرترین کشورها هم از لحاظ اقتصادی و هم از لحاظ اجتماعی در برابر تغییر اقلیم نموده است (واقفی و همکاران، ۲۰۱۹).

۱ - Melville

۲ - Wu and Lau

۳ - Groisman

۴ - Manton

۵ - Pryor

۶ - Trenberth

۷ - Zittis

مطالعات بسیاری روند تغییرات بلندمدت شاخص‌های فرین بارشی در ایران را مورد مطالعه قرار داده اند (میرزائی حسنلو و همکاران، ۱۴۰۳؛ بارخان پور احمدی و همکاران، ۱۴۰۲؛ فرهود و همکاران، ۱۴۰۲؛ هرمزی و همکاران، ۱۳۹۹؛ مظفری و همکاران، ۱۳۹۶). عساکرہ (۱۳۸۹) با استفاده از مفهوم صدک‌ها برای تعریف مقادیر فرین بارش‌های روزانه زنجان طی دوره آماری ۱۹۶۱-۲۰۰۶ با استفاده از سنگین (صدک نود، نود و پنج و نود و نه) و بارش‌های کم مقدار (صدک‌های دهم، پنجم و اول) را به لحاظ مقدار، فراوانی و سهم‌شان در بارش‌های سالانه مورد تحلیل قرار داد. نتایج حاصل از این پژوهش نشان داد که مجموع بارش حاصل از صدک اول و نود و پنجم و سهم آنها در مجموع بارش سالانه با روند کاهشی معنادار روبرو بوده است. از این‌رو، این محقق با توجه به این تغییرات استنباط نمود که بارش‌های سنگین شهر زنجان نسبت به گذشته با ملایمت و بارش‌های کم مقدار با مقادیر کمتری رخ می‌دهند.

عساکرہ (۱۳۹۱) به منظور بررسی تؤام فرین‌های بارشی، ۲۶ نمایه فرین بارشی را از روی بارش‌های روزانه ایستگاه زنجان برای دوره آماری ۱۹۶۱-۲۰۰۶ استخراج نمود. ایشان سپس با استفاده از فن تحلیل مؤلفه‌های مبنا، شش مؤلفه از ۲۶ نمایه را که حدود ۸۶/۵ درصد از تغییرات را تبیین می‌کردند، استخراج نمود. این شش مؤلفه در برگیرنده بارش‌های کم‌مقدار، فراوانی و تداوم بارش‌های بزرگ، میزان بارش‌های سنگین، خشکسالی‌های ملایم، دوره‌های خشک و حداکثر طول دوره‌های خشک بودند. در ادامه، ایشان، شش مؤلفه مزبور را به لحاظ تغییرات بلندمدت (وجود روند)، جهش و چرخه‌ها مورد آزمون قرار دادند. نتایج نشان دادند که در مؤلفه اول (بارش‌های کم‌مقدار)، از سال ۱۹۸۲ به بعد، یک جهش معنادار و در مؤلفه دوم، به عنوان نماینده فراوانی و تداوم بارش‌های بزرگ نیز یک روند کاهشی معناداری قابل مشاهده است. بقیه مؤلفه‌ها فاقد هرگونه روند و جهش معناداری بوده‌اند.

مسعودیان و دارند (۱۳۹۲) با هدف شناسایی نمایه‌های فرین بارشی و بررسی روند تغییرات آنها بر پهنه سرزمینی ایران از داده‌های بارش روزانه ۱۴۳۷ ایستگاه همدید و باران‌سنگی برای دوره ۱۹۶۲-۲۰۰۴ بهره برندند. آنها با استخراج ۱۱ نمایه فرین بارشی و تحلیل روند تغییرات بلندمدت آنها نشان دادند که در مناطق جنوب غرب و غرب کشور روند مثبت و بر روی نوار باریکی در شمال ایران روند منفی است. آنها همچنین نتیجه گرفتند که نه تنها فراوانی رخداد بارش‌های فرین در مناطق جنوب غرب و غرب روبه افزایش است، بلکه شدت و میزان بارش ناشی از آنها نیز بیشتر شده است. عساکرہ و شاهبایی کوتایی (۱۴۰۲) در پژوهشی تلاش نمودند تا با استفاده از داده‌های بارش روزانه ۳۴۲۳ ایستگاه همدید، اقلیم‌شناسی و باران‌سنگی برای دوره ۱۹۷۰ تا ۲۰۱۶ روند تغییرات زمانی نمایه‌های فرین بارشی ایران را در قالب یک تحلیل یاخته - مبنا مورد بررسی قرار دهند. آنها با استخراج نمایه‌های صدکی (صدک کمتر از ۱۰، کمتر از ۲۵، ۲۵ تا ۷۵، ۷۵ تا ۹۰ و بالاتر از ۹۰) و با استفاده از تحلیل رگرسیون، تغییرات فراوانی روزهای عضو هر یک از نمایه‌های چندکی را در طول زمان محاسبه و در قالب نقشه ترسیم نمودند. نتایج نشان دادند که در طول دوره مورد مطالعه ۶/۸۶ درصد از یاخته‌های مرتبط با روزهای تؤام با صدک دهم یا کمتر از آن در سطح کشور، روندی افزایشی داشته‌اند. از سوی دیگر، یاخته‌های مرتبط با روزهای تؤام با صدک نومند و بیش از آن نیز روندی افزایشی از خود نشان داده‌اند. با توجه به اینکه یاخته‌های تؤام با صدک‌های ۲۵-۷۵ (بهنجار) و صدک ۷۵ روندی کاهشی از لحاظ تعداد روزهای گروه خود به نمایش گذاشته‌اند، می‌توان

استنباط کرد که شرایط بارشی کشور و روزهای همراه با بارش به سمت مقادیر حدی حرکت کرده و احتمال خشکسالی یا سیلاب‌های مخرب در کشور افزایش یافته است.

جوانشیری و عباسی (۱۴۰۲)، بارش‌های سنگین (بارش‌های بیشتر از صد ک ۱۹۹۸ توزیع بارش) ۴۴ ایستگاه همدید ایران را در دو مقیاس زمانی فصلی و سالانه برای دو دوره‌ی نرمال استاندارد اقلیمی یعنی ۱۹۸۱-۲۰۱۰ و ۲۰۲۰-۱۹۹۱ استخراج و روند تغییرات بلندمدت آنها را با استفاده از رگرسیون چندک تحلیل نمودند. نتایج نشان دادند که در مقایسه دو دوره نرمال استاندارد اقلیمی، بارش‌های سنگین بهاری در دامنه‌های جنوبی البرز، بارش‌های سنگین تابستانی در سواحل دریای خزر، بارش‌های سنگین پاییزی در شمال غرب و شمال شرق کشور و بارش‌های سنگین زمستانی در دامنه‌های زاگرس به‌طور عمده تغییر رفتار داده‌اند. همین‌طور، بارش‌های سنگین بهاری در دامنه‌های جنوبی البرز رو به کاهش است؛ در صورتی که بارش‌های سنگین تابستانی در سواحل دریای خزر و بارش‌های سنگین پاییزی در شمال غرب و شمال شرق کشور رو به افزایش است. میان آبادی و داوری (۱۴۰۲) با انتخاب ۱۲ ایستگاه همدید در اقلیم‌های مختلف ایران، تغییرات بارش در دو مقیاس زمانی ماهانه و سالانه را برای دو دوره ۱۹۶۱-۱۹۹۰ و ۲۰۲۰-۱۹۹۱ مورد مطالعه قرار دادند. نتایج آزمون من-کنдал نشان داد که در اکثر ایستگاه‌ها بارش در دوره اول روند افزایشی و در دوره دوم روند کاهشی داشته که البته در هر دو حالت روند تغییرات معنی دار نبوده‌اند. توزیع بارش نیز نشان داد که در برخی از ایستگاه‌ها احتمال وقوع بارش‌ها و رخدادهای حدی و دوره‌های گرم و سرد در دوره دوم نسبت به دوره اول افزایش داشته است. در برخی دیگر از ایستگاه‌ها احتمال وقوع خشکسالی‌ها بیشتر و ایستگاه تحت تأثیر تغییر اقلیم می‌تواند تشدید یا تضعیف شود. ملبوسی و همکاران (۱۴۰۲) با استخراج ۱۱ شاخص فرین بارشی برای ۲۷ ایستگاه همدید ایران در بازه زمانی ۱۹۵۸-۲۰۱۷، روند تغییرات بلندمدت این شاخص‌ها را مورد تحلیل قرار دادند. یافته‌های این محققین نشان داد که به‌طور کلی شاخص‌های فرین بارش برای این ۲۷ ایستگاه فاقد روند معنادار بوده‌اند. جدا از این مطالعات، روند تغییرات بلندمدت فرین‌های بارشی حوضه آبریز کارون (حلبیان، ۱۳۹۸)، دشت کاشان (نیک‌اندیش و همکاران، ۱۴۰۱)، استان کهگیلویه و بویراحمد (قصابی و همکاران، ۱۴۰۱)، غرب و شمال غرب ایران (جهانبخش اصل و همکاران، ۱۳۹۹؛ عساکر و همکاران، ۱۳۹۱) نیز مورد مطالعه قرار گرفته است.

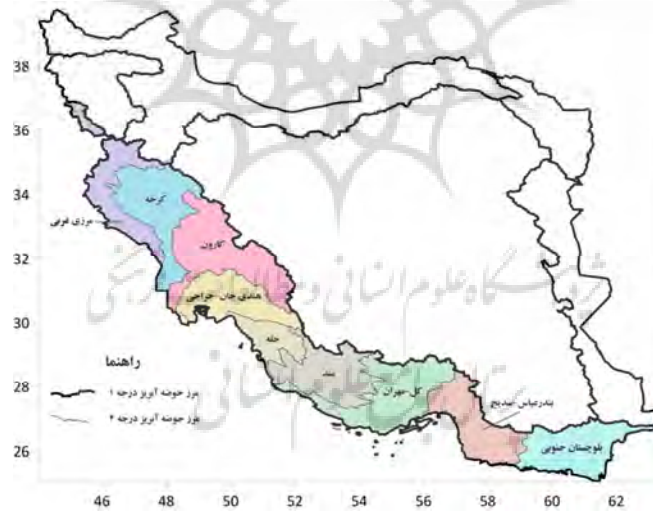
حوضه آبریز خلیج فارس و دریای عمان به‌دلیل موقعیت خاص جغرافیایی و قرارگرفتن آن در پهنه خشک و نیمه-خشک کره زمین، در مواجه با ناهنجاری‌های اقلیمی به‌شدت آسیب‌پذیر است؛ به‌طوری‌که یکی از مهم‌ترین عنصر اقلیمی آن یعنی بارش، تغییرپذیری شدیدی از خود نشان می‌دهد. در جایی سبب بروز خشکسالی‌های ممتد و در مکان دیگر مسبب سیل و طغیان رودخانه‌ها می‌شود. بنابراین، لزوم بررسی و پیش‌بینی تغییرات اقلیمی در این حوضه آبریز، جهت کاهش خطرات و زیان‌هایی در سطوح و بخش‌های کلان کشاورزی، صنعت و حمل و نقل، منابع آب و آبخیزداری، محیط‌زیست و گردشگری، بهداشت و سلامت و غیره از اهمیت خاصی برخوردار است. بنابراین، نخستین گام در جهت مدیریت بحران فرین‌های بارشی و کاهش اثرات مخرب آن در این حوضه آبریز شناخت، بررسی و تحلیل رفتار فضایی-زمانی فرین‌های بارشی و ویژگی‌های آن و پیش‌بینی چگونگی رخداد آنها در آینده و ارتباط آن با

تغییرات اقلیمی می باشد. چراکه لزوم مطالعه دقیق این پدیده و پیش‌بینی آن به منظور یاری رساندن مدیران و برنامه‌ریزان بخش‌های مختلف مطالعاتی و اجرایی، جهت تحقق اهداف کلان ملی و منطقه‌ای امری ضروری است.

داده‌ها و روش‌ها

منطقه مورد مطالعه

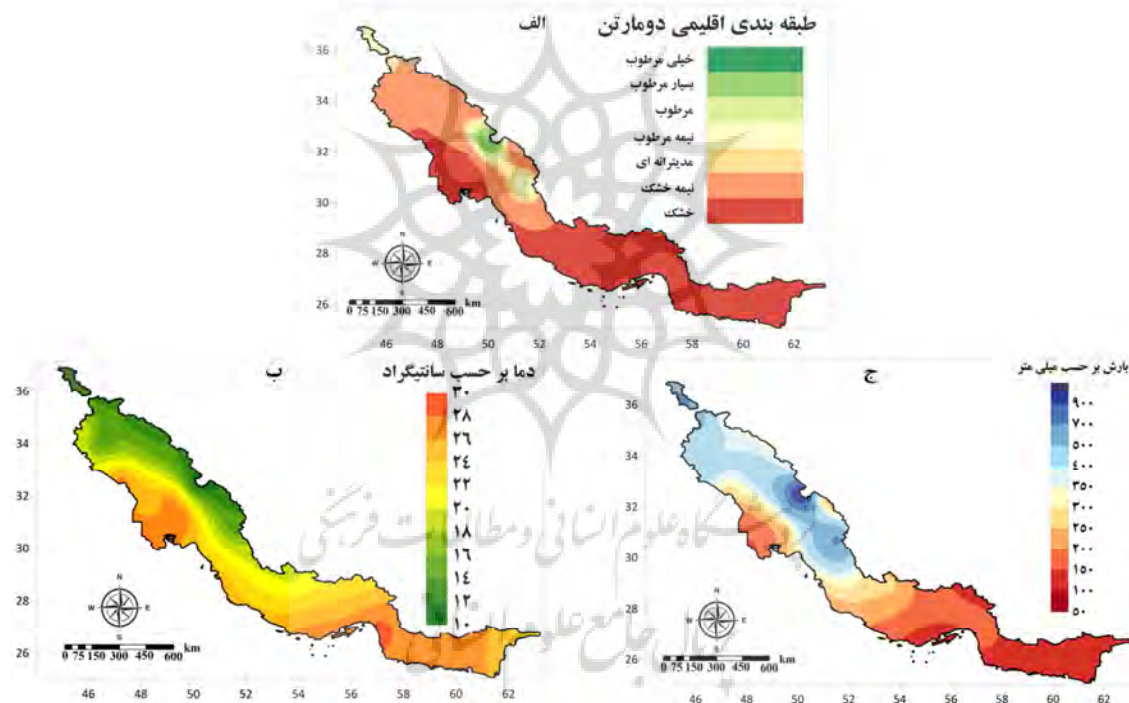
حوضه آبریز خلیج فارس و دریای عمان با مساحتی حدود ۴۲۴۰۲۹ کیلومتر مربع معادل با ۲۵/۷ درصد از کل مساحت ایران، یکی از پهناورترین حوضه‌های آبریز ایران است که از غرب به جنوب‌شرق ایران گستردگی داشته است و استان‌های کرمانشاه، ایلام، لرستان، خوزستان، کهگیلویه و بویراحمد، بوشهر و هرمزگان را در برگرفته است. رشته‌کوه‌های زاگرس سرچشم‌های اصلی رودخانه‌هایی است که به حوضه آبریز خلیج فارس و دریای عمان سرازیر می‌شوند. از مهم‌ترین رودخانه‌های این حوضه آبریز می‌توان به اروندرود، گاماسب، کارون، جراحی، زهره، دلاکی، مند، شور، میتاب، مهران و نبند اشاره کرد (محمودی و همکاران، ۱۴۰۳). این حوضه آبریز که جزء حوضه‌های آبریز درجه یک ایران به شمار می‌رود، خود به ۹ زیر حوضه آبریز درجه ۲ تقسیم می‌شود که موقعیت و ویژگی‌های جغرافیایی آنها در شکل ۱ آورده شده‌اند.



شکل ۱: موقعیت جغرافیایی حوضه آبریز خلیج فارس و دریای عمان و زیر حوضه‌های آن در جنوب ایران

به سبب موقعیت خاص جغرافیایی و ویژگی‌های توپوگرافی هر بخش از این حوضه آبریز، آب و هوایی متفاوتی بر آن حاکم است. به طوری که بر اساس طبقه‌بندی اقلیمی دومارت، این حوضه آبریز را می‌توان به شش طبقه اقلیمی تقسیم‌بندی نمود که قسمت اعظم آن را اقلیم‌های خشک و نیمه‌خشک در بر گرفته است (شکل ۳-۳الف) (محمودی و همکاران، ۱۴۰۳). میانگین بارش سالانه حوضه آبریز خلیج فارس و دریای عمان نزدیک به ۳۷۲ میلی‌متر است که توزیع فضایی آن در نقاط مختلف حوضه آبریز بسیار متفاوت است، به طوری که میانگین بارش سالانه در ایستگاه جاسک برابر با ۱۰۲/۵ میلی‌متر و در برخی دیگر از نقاط آن مانند ایستگاه کوهرنگ به ۱۲۷۴/۹ میلی‌متر می‌رسد

(شکل ۳-۲-ب) (محمودی و همکاران، ۱۴۰۳). توزیع فضایی میانگین سالانه دمای این حوضه آبریز نیز تابعی از ناهمواری‌ها و تغییرات زاویه میل خورشید است. میانگین دمای سالانه این حوضه آبریز برابر با $20/5$ درجه سانتی‌گراد است که کمترین آن درست منطبق بر قلل سلسله کوه‌های مرتفع زاگرس (ایستگاه کوهرنگ با میانگین دمای سالانه 10 درجه سانتی‌گراد) و بالاترین آن نیز در سواحل جنوبی شرقی این حوضه آبریز (ایستگاه میناب با $28/4$ درجه سانتی‌گراد) مشاهده می‌شود (محمودی و همکاران، ۱۴۰۳). در مجموع، از جنوب به شمال و از مشرق به مغرب از دمای هوای این حوضه آبریز کاسته می‌شود. سرد شدن هوا در جهت جنوب به شمال بیشتر بهدلیل افزایش عرض جغرافیایی و کاهش تابش خورشید و نیز تراکم سلسله کوه‌های مرتفع در غرب حوضه آبریز است و کاهش آن از مشرق به مغرب بهدلیل تجمع توده کوهستانی زاگرس در غرب حوضه آبریز است (شکل ۳-۲-ج) (محمودی و همکاران، ۱۴۰۳).

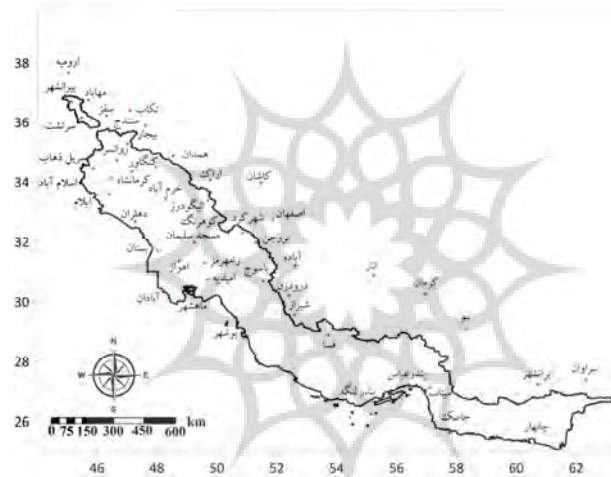


شکل ۲: (الف) نقشه طبقه‌بندی اقلیمی حوضه آبریز خلیج فارس و دریای عمان بر اساس روش دومارتن، (ب) نقشه توزیع فضایی میانگین بارش سالانه حوضه آبریز خلیج فارس و دریای عمان و (ج) توزیع فضایی میانگین دمای سالانه حوضه آبریز خلیج فارس و دریای عمان

داده‌ها

در این پژوهش جهت تحلیل روند فرین‌های بارشی حوضه آبریز خلیج فارس و دریای عمان از داده‌های بارش روزانه 47 ایستگاه همدید برای یک بازه زمانی 30 ساله ($1993-2022$) که از سازمان هواشناسی ایران دریافت شد، استفاده گردید. اندک خلاصه‌های آماری موجود در این داده‌ها با استفاده از روش‌های همبستگی و رگرسیون بازسازی شدند. از این 47 ایستگاه همدید 29 ایستگاه همدید آن داخل موزه‌های حوضه آبریز و 18 ایستگاه همدید آن خارج از موزه‌های

حوضه آبريز واقع شده‌اند. در زمان نگاشت شاخص‌های فرین بارشی از تمامی ۴۷ ایستگاه همدید و در زمان تحلیل نتایج تنها از ۲۹ ایستگاه همدید داخل حوضه آبریز استفاده شده است. این ایستگاه‌ها دارای کامل‌ترین و معتبرترین داده‌ها در حوضه آبریز خلیج فارس و دریای عمان هستند. اندک خلاصه آماری داده‌ها (برای تمامی ۴۷ ایستگاه مورد مطالعه کمتر از ۰/۰۱ درصد)، با استفاده از ضریب همبستگی و رگرسیون خطی و بر اساس مناسب‌ترین ایستگاه مجاور بازسازی شدند. آزمون همگنی داده‌ها نیز با استفاده از آزمون ران تست انجام و همگنی تمامی ایستگاه‌های مورد مطالعه در سطح اطمینان ۹۵ درصد تایید شدند. برای شناسایی داده‌های پرت نیز از بسته نرم‌افزاری RClimDex (نرم‌افزار و اسناد موجود برای دانلود از <http://cccmra.seos.uvic.ca/ETCCDMI>) استفاده شد.
ایسترلینگ و همکاران، ۲۰۰۳.



شکل ۳: نام و موقعیت جغرافیایی ایستگاه‌های مورد مطالعه در حوضه آبریز خلیج فارس و دریای عمان در جنوب ایران

روش‌شناسی

در سال ۲۰۱۱ کارگروه تخصصی خطر اقلیمی و نمایه‌های بخش ویژه^۱ (ETCRSCI) کمیسیون اقلیم‌شناسی^۲ (CCI) سازمان هواشناسی جهانی^۳ (WMO) جهت بهبود تصمیم‌گیری در برنامه‌ریزی، سازماندهی و مدیریت ریسک و در راستای سازگاری با تعییر و تغییرپذیری اقلیمی یک مجموعه از ۳۴ شاخص فرین دمایی و بارشی تعریف نمودند. این نمایه‌ها در سال ۲۰۱۶ با هماهنگی تیم کارشناسی نمایه‌ها و آشکارسازی تعییر اقلیم^۴ (ETCCDI) وابسته به کمیسیون اقلیم‌شناسی (CCI) سازمان هواشناسی جهانی (WMO) به ۶۴ نمایه افزایش داده شدند. در این مطالعه از ۱۵ نمایه فرین بارشی این تیم استفاده شد که ویژگی‌های آنها به طور کامل در جدول ۱ آورده شده‌اند. لازم به یادآوری است که تمامی نمایه‌های انتخاب شده با استفاده از نرمافزار ClimPACT که یک نرمافزار مبتنی بر R است محاسبه و استخراج شده‌اند.

1- Expert Team on Climate Risk and Sector-specific Indices

2 - Commission for Climatology

3 - World Meteorological Organization

4 - Expert Team on Climate Change Detection and Indices

جدول ۱: ویژگی‌های نمایه‌های فرین بارشی استفاده شده در مطالعه (پترسون^۱ و همکاران، ۲۰۰۱؛ کارل^۲ و همکاران، ۱۹۹۹)

نام اختصاری	نام کامل	تعریف	توضیحات	واحد	مقیاس زمانی
CDD	روزهای خشک متوالی	حداکثر تعداد روزهای خشک متوالی (زمانی که بارش روزانه مساوی یا بزرگ‌تر از ۱ میلی متر باشد)	طولانی‌ترین دوره خشک	روز	سالانه
R10mm	تعداد روزهای با بارش سنگین	تعداد روزهایی که بارش مساوی یا بیشتر از ۱۰ میلی متر می‌باشد	روزهایی که بارش حداقل ۱۰ میلی متر است	روز	ماهانه و سالانه
R20mm	تعداد روزهای با بارش بسیار سنگین	تعداد روزهایی که بارش مساوی یا بیشتر از ۲۰ میلی متر می‌باشد	روزهایی که بارش حداقل ۲۰ میلی متر است	روز	ماهانه و سالانه
R30mm	تعداد روزهای با بارش فوق سنگین	تعداد روزهایی که بارش مساوی یا بیشتر از ۳۰ میلی متر می‌باشد	روزهایی که بارش حداقل ۳۰ میلی متر است	روز	ماهانه و سالانه
PRCPTOT	مجموع بارش‌های روزانه مساوی روزهای تر	مجموع بارش‌های روزانه مساوی یا بیشتر از ۱ میلی متر	مجموع بارش روزهای تر	میلی‌متر	ماهانه و سالانه
R95pTOT	سهم از روزهای بسیار تر	$\frac{r95p}{PRCPTOT} \times 100$	نسبت مجموع بارش روزهای بسیار تر به مجموع بارش سالانه	درصد	سالانه
R99pTOT	سهم از روزهای به شدت تر	$\frac{r99p}{PRCPTOT} \times 100$	نسبت مجموع بارش روزهای به شدت تر به مجموع بارش سالانه	درصد	سالانه
R95p	مجموع بارش سالانه روزهای بارشی بالاتر از صدک نود و پنجم	مجموع بارش سالانه روزهای بارشی بارشی بسیار تر	مقدار بارش مربوط به روزهایی بارشی بسیار تر	میلی‌متر	سالانه
R99p	مجموع بارش سالانه روزهای بارشی بالاتر از صدک نود و نهم	مجموع بارش سالانه روزهای بارشی بالاتر از صدک نود و نهم	مقدار بارش مربوط به روزهایی بارشی به شدت تر	میلی‌متر	سالانه
Rx1day	حداکثر بارش یک روزه	مجموع حداکثر بارش یک روزه	حداکثر مقدار بارشی که در یک روز باریده است	میلی‌متر	ماهانه و سالانه
Rx3day	حداکثر بارش سه روزه	مجموع حداکثر بارش سه روزه	حداکثر مقدار بارشی که در سه روز متولی باریده است	میلی‌متر	ماهانه و سالانه
Rx5day	حداکثر بارش پنج روزه	مجموع حداکثر بارش پنج روزه	حداکثر مقدار بارشی که در پنج روز متولی روز باریده است	میلی‌متر	ماهانه و سالانه
CWD	روزهای تر متوالی	حداکثر تعداد سالانه روزهای تر متوالی (زمانی که بارش مساوی یا بیشتر از ۱ میلی متر است)	طولانی‌ترین دوره تر	روز	سالانه
SDII	شدت بارش روزانه	مجموع بارش سالانه تقسیم بر تعداد روزهای تر (زمانی که بارش مساوی یا بیشتر از ۱ میلی متر است)	میانگین شدت بارش روزانه در روزهای تر	میلی‌متر/روز	سالانه

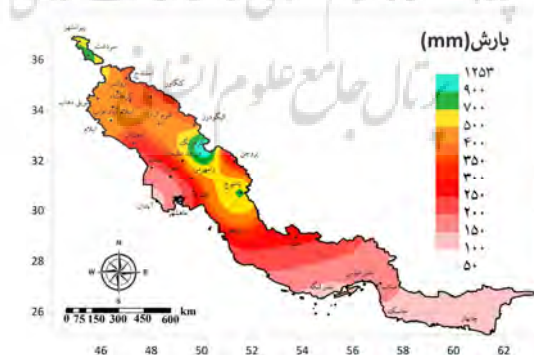
بعد از استخراج شاخص های فرین بارشی، با استفاده از روش تخمین گر، شبیب سن روند تغییرات بلندمدت آنها مورد بررسی قرار گرفت. این روش اولین بار توسط تیل در سال ۱۹۵۰ ارائه و سپس توسط سن در سال ۱۹۶۸ بسط و گسترش داده شد. این روش همانند بسیاری دیگر از روش های ناپارامتریک همچون من - کنдал بر تحلیل تفاوت بین مشاهدات یک سری زمانی استوار است. این روش زمانی می تواند مورد استفاده قرار گیرد که روند موجود در سری زمانی یک روند خطی باشد. مبانی محاسباتی این روش به طور کامل در منبع علیجانی و همکاران (۱۳۹۱) آورده شده است.

نتایج و بحث

در این بخش نتایج حاصل از تحلیل روند تغییرات بلندمدت ۱۵ نمایه فرین بارشی برای حوضه آبریز خلیج فارس و دریای عمان در جنوب ایران آورده شده اند.

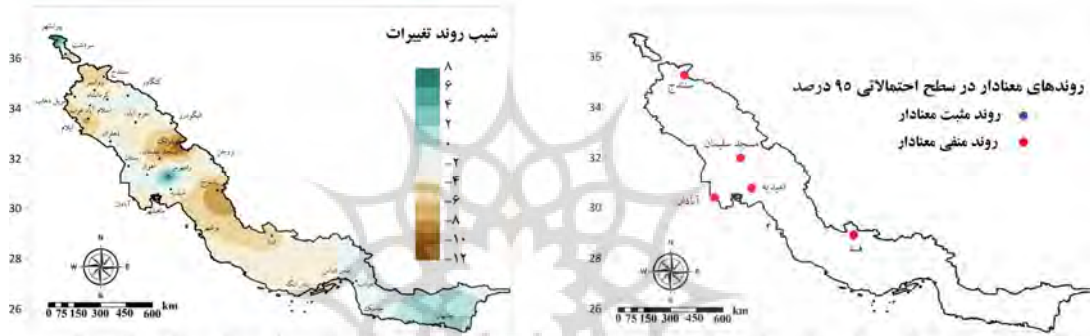
مجموع بارش سالانه روزهای تر (PRCPTOT)

اولین نمایه بارشی که روند تغییرات بلندمدت آن در حوضه آبریز خلیج فارس و دریای عمان مورد توجه قرار گرفت، مجموع بارش سالانه روزهای تر بود که با علامت اختصاری (PRCPTOT) مشخص می شود. این نمایه از جمع بارش های روزانه مساوی یا بیشتر از ۱ میلی متر به دست می آید. توزیع فضایی این نمایه در حوضه آبریز مورد مطالعه نشان می دهد که میانگین بلندمدت آن از غرب به شرق و از شمال به جنوب کاهش پیدا می کند (شکل ۳). توپوگرافی متراکم در غرب حوضه آبریز و عرض جغرافیایی می توانند مهم ترین دلایل این نوع آرایش فضایی در مجموع بارش سالانه روزهای تر باشند. هر چند نبایستی دور بودن نیمه شرقی این حوضه آبریز از سیستم های بارش زای غربی را فراموش نمود. بیشترین بارش این حوضه آبریز متعلق به ایستگاه کوهرنگ با ۱۲۵۳ میلی متر و کمترین آن نیز متعلق به ایستگاه جاسک با ۱۰۵۷ میلی متر می باشد.



شکل ۳: توزیع فضایی میانگین مجموع بارش سالانه روزهای تر (PRCPTOT) در حوضه آبریز خلیج فارس و دریای عمان (۱۹۹۳-۲۰۲۲) نتایج تحلیل روند تغییرات بلندمدت این نمایه نشان می دهد که تقریباً ۸۹/۶ درصد ایستگاه ها (۲۶ ایستگاه از ۲۹ ایستگاه) دارای روند کاهشی و تنها ۱۰/۴ درصد ایستگاه ها (۳ ایستگاه از ۲۹ ایستگاه) دارای روند افزایشی بوده اند. بیشتر ایستگاه های دارای روند کاهشی در مرکز و غرب و ایستگاه های دارای روند افزایشی نیز در شرق حوضه آبریز

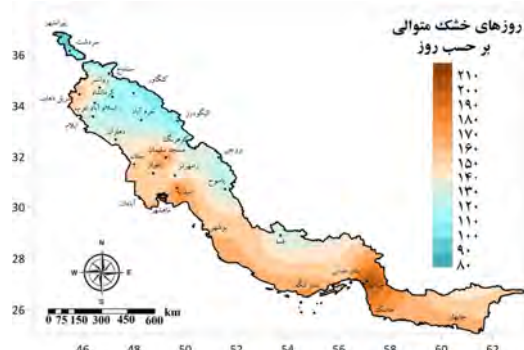
متمرکز بوده‌اند (شکل ۴). همچنین لازم به اشاره است که مقدار شیب روند تغییرات در این حوضه آبریز یکدست نبوده و از یک ایستگاه به ایستگاه دیگر بسیار متفاوت بوده است؛ به طوری که بیشترین شیب روند تغییرات کاهشی متعلق به ایستگاه‌های کوهزنگ (۱۰/۵-۹/۸ میلی‌متر در ۳۰ سال)، ایلام (۶/۵-۶/۱ میلی‌متر در ۳۰ سال)، یاسوج (۸/۲-۷/۱ میلی‌متر در ۳۰ سال) و مسجد سلیمان (۵/۶-۵/۴ میلی‌متر در ۳۰ سال) و بیشترین شیب روند تغییرات افزایشی نیز متعلق به ایستگاه‌های پیرانشهر (۵/۶-۵/۴ میلی‌متر در ۳۰ سال)، رامهرمز (۵/۶-۵/۴ میلی‌متر در ۳۰ سال) و چابهار (۱/۸ میلی-۱ متر در ۳۰ سال) بوده‌اند (شکل ۴). اما روند این تغییرات برای تمامی ایستگاه‌های مورد مطالعه در سطح احتمالاتی ۹۵ درصد معنادار نبوده‌اند و تنها پنج ایستگاه سندج، مسجدسلیمان، امیدیه، آبدان و فسا روند تغییرات آنها معنادار بوده است که موقعیت تمامی این ایستگاه‌ها در شکل ۴ آورده شده‌اند.



شکل ۴: توزیع فضایی مقادیر شیب روند تغییرات مجموع بارش سالانه روزهای تر (PRCPTOT) بر حسب میلی‌متر در ۳۰ سال و نام و موقعیت جغرافیایی ایستگاه‌های دارای روندهای معنادار در سطح اطمینان ۹۵ درصد در حوضه آبریز خلیج فارس و دریای عمان (۲۰۲۲-۱۹۹۳)

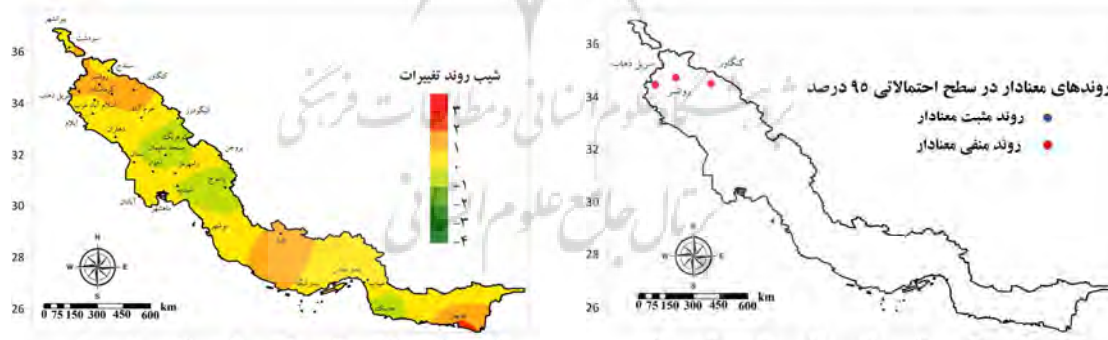
روزهای خشک متوالی (CDD)

یکی از مهم‌ترین نمایه‌های فرین بارشی، روزهای خشک متوالی است که با علامت اختصاری (CDD) نشان داده می‌شود. بر اساس این نمایه، حداکثر تعداد روزهای خشک متوالی برای هر سال، برای کل ایستگاه‌های مورد مطالعه در حوضه آبریز خلیج فارس و دریای عمان استخراج شدند. توزیع فضایی میانگین بلندمدت حداکثر تعداد روزهای خشک متوالی (۱۹۹۳-۲۰۲۲) برای حوضه آبریز مورد مطالعه در شکل ۵ ترسیم شده است. بر اساس این شکل، مشاهده می‌شود که طول حداکثر روزهای خشک متوالی از غرب به شرق و از شمال به جنوب در این حوضه آبریز افزایش پیدا می‌کند. طولانی‌ترین روزهای خشک متوالی به ترتیب متعلق به ایستگاه‌های میناب (۳/۲۱۲ روز)، امیدیه (۷/۱۸۵ روز)، مسجد سلیمان (۱/۱۷۷ روز)، بندر لنگه (۸/۱۷۶ روز)، چابهار (۲/۱۶۸) و جاسک (۸/۱۶۴) و کوتاه‌ترین آن نیز مربوط به ایستگاه‌های پیرانشهر (۶/۹۵ روز)، سردشت (۶/۱۰۰) و الیگودرز (۶/۱۰۳) بوده است (شکل ۵).



شکل ۵: توزیع فضایی میانگین بلندمدت حداکثر تعداد روزهای خشک متوالی (CDD) در حوضه آبریز خلیج فارس و دریای عمان (۱۹۹۳-۲۰۲۲)

نتایج تحلیل روند بر روی این نمایه از فرین بارشی حاکی از روند افزایشی آن در این حوضه آبریز بوده است. از ۲۹ ایستگاه مورد مطالعه ۲۱ ایستگاه روند افزایشی، ۵ ایستگاه روند کاهشی و ۳ ایستگاه نیز فاقد روند بوده‌اند (شکل ۶). اما تمامی این روندها به استثنای روندهای سه ایستگاه کنگاور (۱/۶ روز در ۳۰ سال)، روانسر (۱/۵ روز در ۳۰ سال) و سریل ذهاب (۱/۱ روز در ۳۰ سال) در هیچ‌کدام از سطح اطمینان ۹۵ درصد معنادار نبوده‌اند. نقشه توزیع فضایی مقادیر شیب روند تغییرات این نمایه نیز به روشنی نشان می‌دهد که بیشتر ایستگاه‌های واقع در این حوضه آبریز دارای شیب بین ۱ و +۱ روز در ۳۰ سال بوده است (شکل ۶). نام و موقعیت جغرافیایی ایستگاه‌های دارای روندهای معنادار در شکل ۶ آورده شده است. همان‌گونه که در شکل ۶ مشاهده می‌شود سه ایستگاهی که روندهای آنها معنادار بوده‌اند در غرب حوضه آبریز متتمرکز بوده‌اند.



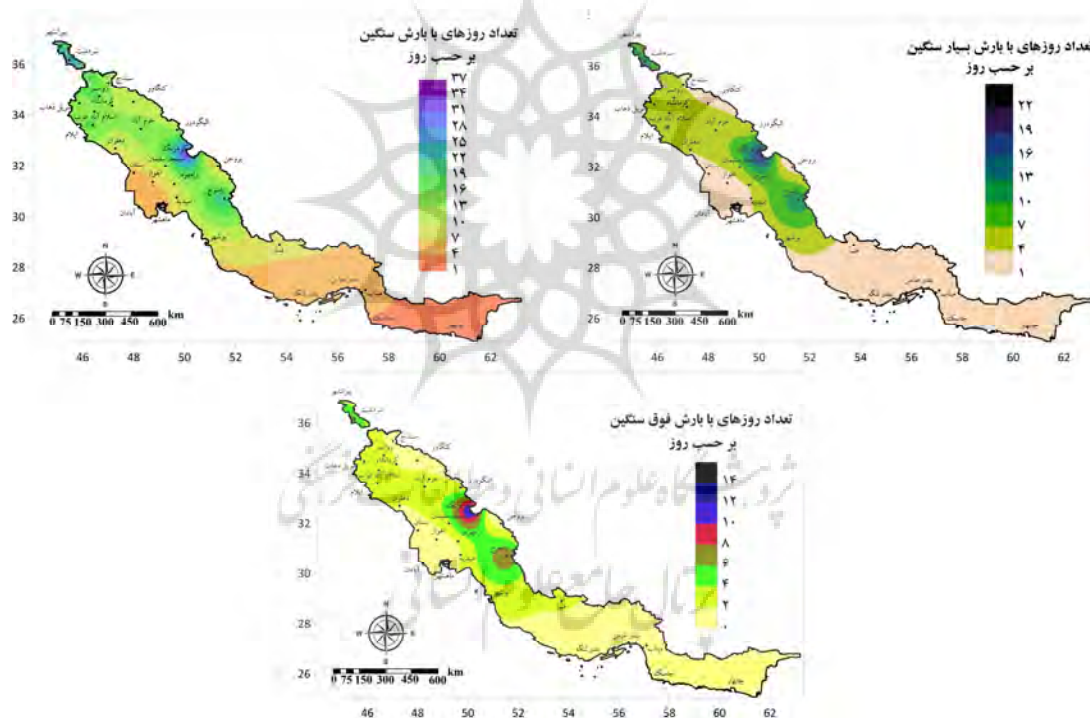
شکل ۶: توزیع فضایی مقادیر شیب روند تغییرات حداکثر تعداد روزهای خشک متوالی (CDD) بر حسب روز در ۳۰ سال و نام و موقعیت جغرافیایی ایستگاه‌های دارای روندهای معنادار در سطح اطمینان ۹۵ درصد در حوضه آبریز خلیج فارس و دریای عمان (۱۹۹۳-۲۰۲۲)

تعداد روزهای با بارش‌های سنگین (R_{30mm}), بسیار سنگین (R_{10mm}) و فوق سنگین (R_{20mm})

تعداد روزهای با بارش‌های سنگین (R_{30mm}), بسیار سنگین (R_{10mm}) و فوق سنگین (R_{20mm}) مجموعه‌ای از شاخص‌های فرین بارشی هستند که روند تغییرات بلندمدت آنها می‌توانند رژیم بارشی هر حوضه آبریزی را دستخوش تحولات بزرگی کنند. توزیع فضایی میانگین بلندمدت تعداد روزهای با بارش‌های سنگین (R_{30mm}), بسیار سنگین (R_{10mm}) و فوق سنگین (R_{20mm}) (شکل ۷) در حوضه آبریز خلیج فارس و دریای عمان تقریباً از الگوهای فضایی

مشابهی پیروی می‌کنند. حداقل تعداد روزهای مربوط به این سه فرین بارشی در حوضه آبریز مورد مطالعه منطبق بر ارتفاعات زردکوه (دومین قله مرتفع رشته کوه‌های زاگرس) در استان چهارمحال و بختیاری است. زردکوه منشاء اصلی تامین آب سه رودخانه اصلی کارون، کرخه و دز در حوضه آبریز مورد مطالعه می‌باشد. حداقل تعداد روزهای مربوط به این سه فرین نیز در سزمین‌های پست جنوب شرق ایران در دو استان سیستان و بلوچستان و هرمزگان مشاهده می‌شود. به طور کلی آرایش فضایی این سه نمایه فرین بارشی همچون دیگر نمایه‌های فرین بارشی مورد مطالعه دارای یک شیب کاهشی از غرب به شرق و از شمال به جنوب هستند.

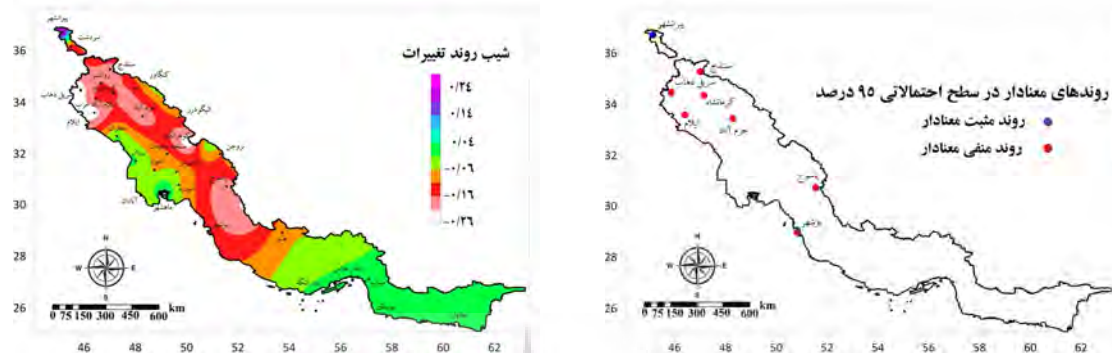
تعداد روزهای با بارش‌های سنگین (R_{10mm}) دارای دامنه تغییراتی بین ۱/۳ روز (ایستگاه چابهار) تا ۳/۵ روز (ایستگاه کوهرنگ) هستند. دامنه تغییرات تعداد روزهای با بارش‌های بسیار سنگین (R_{20mm}) بین ۱/۵ روز (ایستگاه جاسک) تا ۲۱/۸ روز (ایستگاه کوهرنگ) تغییر پیدا می‌کند. ایستگاه آبادان با ۰/۷ روز و ایستگاه کوهرنگ نیز با ۱۳/۶ روز به ترتیب پایین‌ترین و بالاترین تعداد روزهای با بارش‌های فوق سنگین (R_{30mm}) را دارا هستند.



شکل ۷: توزیع فضایی میانگین بلندمدت تعداد روزهای با بارش‌های سنگین (R_{10mm}), بسیار سنگین (R_{20mm}) و فوق سنگین (R_{30mm}) در حوضه آبریز خلیج فارس و دریای عمان (۱۹۹۳-۲۰۲۲)

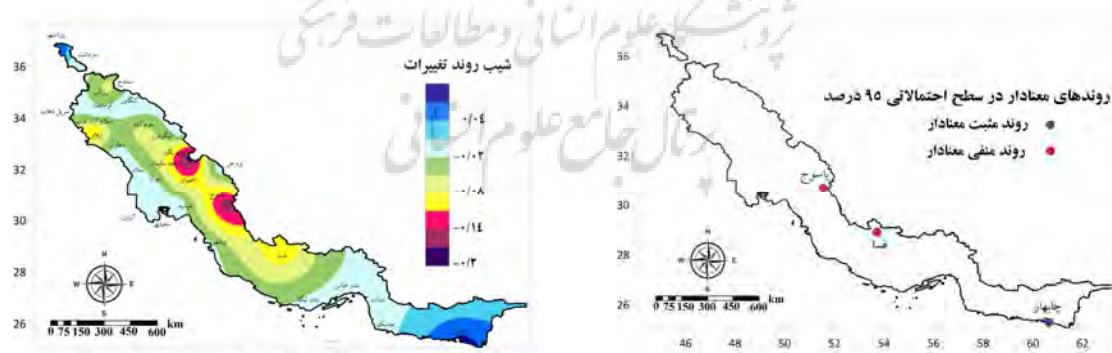
تحلیل روند تغییرات بلندمدت در تعداد روزهای با بارش‌های سنگین (R_{10mm}) نشان از حاکمیت روندهای کاهشی در سری‌های زمانی این فرین بارشی دارند. به طوری که از ۲۹ ایستگاه مورد مطالعه در این حوضه آبریز ۲۰ ایستگاه دارای روند کاهشی، ۲ ایستگاه دارای روند افزایشی و ۶ ایستگاه باقیمانده نیز فاقد هر گونه روندی بوده‌اند. از لحاظ فضایی، ایستگاه‌های دارای روند کاهشی همگی در نیمه غربی و ایستگاه‌های دارای روند افزایشی، به استثنای ایستگاه پیرانشهر، همگی در نیمه شرقی حوضه آبریز تمرکز پیدا کرده‌اند (شکل ۸). اما با استثنای اشاره شود که تمامی این

روندها از لحاظ احتمالاتی معنادار نبوده‌اند. در شکل ۸ نام و موقعیت جغرافیایی ایستگاه‌هایی که روندهای آنها در سطح اطمینان ۹۵ درصد معنادار بوده‌اند، نشان داده شده‌اند.



شکل ۸: توزیع فضایی مقادیر شیب روند تغییرات بلندمدت تعداد روزهای با بارش‌های سنگین (R10mm) بر حسب روز در ۳۰ سال نام و موقعیت جغرافیایی ایستگاه‌های دارای روندهای معنادار در سطح احتمالاتی مختلف برای تعداد روزهای با بارش‌های سنگین (R10mm) در حوضه آبریز خلیج فارس و دریای عمان (۱۹۹۳-۲۰۲۲)

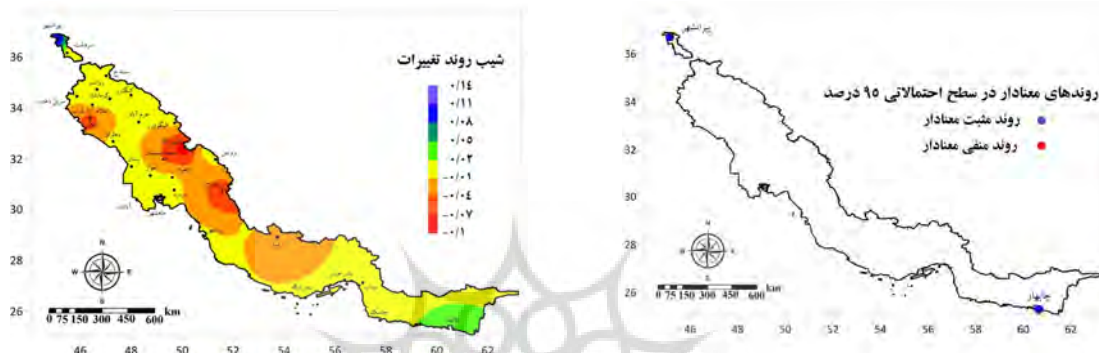
در تحلیل روند تغییرات بلندمدت تعداد روزهای با بارش‌های بسیار سنگین (R20mm) مشاهده شد که ۱۸ ایستگاه از ۲۹ ایستگاه مورد مطالعه در حوضه آبریز خلیج فارس و دریای عمان فاقد هر گونه روند افزایشی یا کاهشی بوده‌اند. ۸ ایستگاه دارای روند کاهشی و ۳ ایستگاه نیز روند آنها افزایشی بوده است. ایستگاه‌هایی که روندهای آنها کاهشی بوده است بیشتر در مرکز و غرب حوضه آبریز مطالعه متمرکز بوده‌اند (شکل ۹). دو ایستگاه کوهنگ و یاسوج بالاترین مقادیر شیب تغییرات کاهشی و سه ایستگاه پیرانشهر و رامهرمز و چابهار نیز بالاترین مقادیر شیب تغییرات افزایشی را به خود اختصاص داده‌اند (شکل ۹). اما ایستگاه‌هایی که روند آنها در سطح اطمینان ۹۵ درصد معنادار بوده است محدود به سه ایستگاه یاسوج، فسا و چابهار بوده است (۹).



شکل ۹: توزیع فضایی مقادیر شیب روند تغییرات بلندمدت تعداد روزهای با بارش‌های بسیار سنگین (R20mm) بر حسب روز در ۳۰ سال نام و موقعیت جغرافیایی ایستگاه‌های دارای روندهای معنادار در سطح اطمینان ۹۵ درصد در حوضه آبریز خلیج فارس و دریای عمان (۱۹۹۳-۲۰۲۲)

تحلیل روند تغییرات بلندمدت بارش‌های فوق سنگین نشان می‌دهند که حدود ۷۶ درصد ایستگاه‌ها قادر هرگونه روند افزایشی یا کاهشی برای این نمایه از فرین بارشی بوده‌اند. دلیل این مهم می‌تواند در فراوانی وقوع اندک بارش-

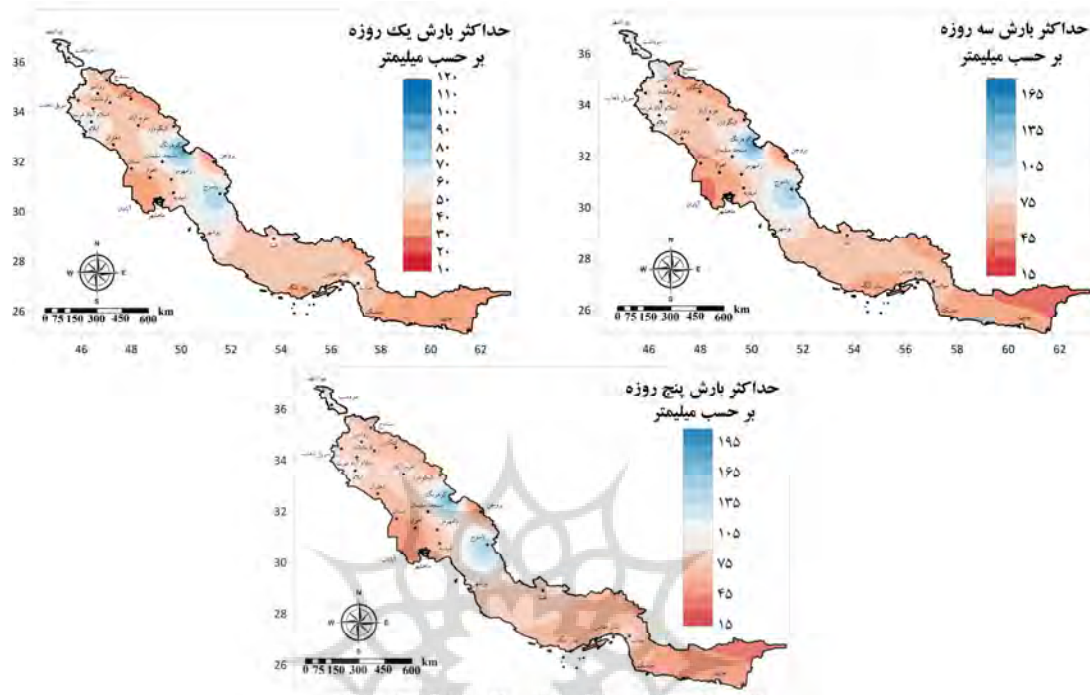
های فوق سنگین در حوضه آبریز خلیج فارس و دریای عمان دانست. همان‌گونه که در شکل ۱۰ مشاهده می‌شود مقدار روند شیب تغییرات بین دو عدد ۰/۱۴-۰/۰ برای ایستگاه پیرانشهر و ۰/۱-۰/۰ برای ایستگاه کوهرنگ در تغییر بوده است. اما ایستگاه‌هایی که روند آنها در سطوح احتمالاتی مختلف معنادار بوده‌اند تنها دو ایستگاه پیرانشهر و چابهار بوده‌اند که روند هر دو ایستگاه نیز افزایشی بوده است (شکل ۱۰). روند هر دو ایستگاه نیز در سطح اطمینان ۹۵ درصد مورد تایید قرار گرفته است.



شکل ۱۰: توزیع فضایی مفادیر شیب روند تغییرات بلندمدت تعداد روزهای با بارش‌های فوق سنگین (Rx30mm) بر حسب روز در ۳۰ سال و نام و موقعیت جغرافیایی ایستگاه‌های دارای روندهای معنادار در سطح اطمینان ۹۵ درصد در حوضه آبریز خلیج فارس و دریای عمان (۱۹۹۳-۲۰۲۲)

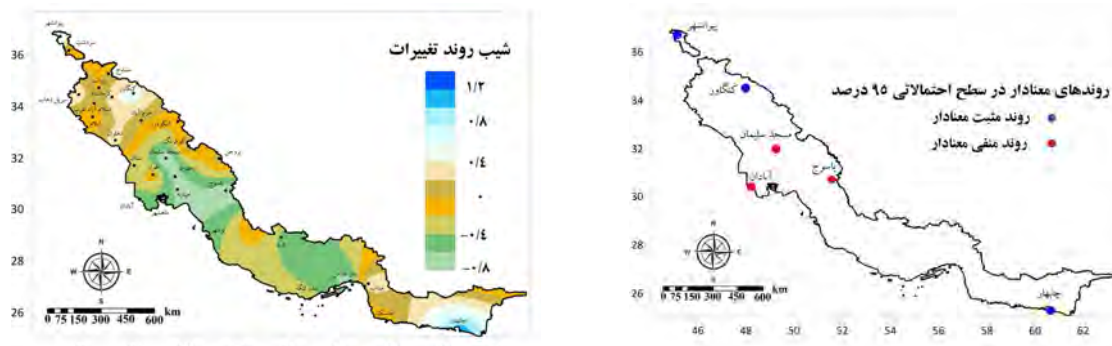
حداکثر بارش‌های یک روزه (Rx1day)، سه روزه (Rx3day) و پنج روزه (Rx5day)

مجموعه دیگری از نمایه‌های فرین بارشی، جداکثر بارش‌های یک روزه (Rx1day)، سه روزه (Rx3day) و پنج روزه (Rx5day) در یک مقیاس سالانه بودند که برای همه ایستگاه‌های مورد مطالعه در داخل حوضه آبریز خلیج فارس و دریای عمان استخراج شدند. میانگین بلندمدت این سه فرین بارشی در شکل ۱۱ در قالب سه نقشه ترسیم شده‌اند. الگوهای فضایی این سه فرین بارشی تقریباً دارای الگوهای فضایی یکسان و منطبق بر ناهمواری‌های داخل حوضه آبریز هستند. بیشترین مقدار جداکثر بارش‌های یک روزه (Rx1day)، سه روزه (Rx3day) و پنج روزه (Rx5day) منطبق بر دامنه رشته کوه‌های زردکوه (ایستگاه کوهرنگ) و دنا (ایستگاه یاسوج) و کمترین مقدار آنها در سرزمین‌های پست جنوب شرق و جنوب غرب حوضه آبریز به مرکزیت دو ایستگاه چابهار در جنوب شرق و آبادان در جنوب غرب است. دامنه تغییرات میانگین بلندمدت این سه فرین بارشی به ترتیب برای جداکثر بارش‌های یک روزه (Rx1day) بین ۱۳/۶-۳۵/۳ میلی‌متر، سه روزه (Rx3day) بین ۱/۵-۲۱/۸ میلی‌متر و پنج روزه (Rx5day) بین ۰/۷ میلی‌متر است (شکل ۱۱).



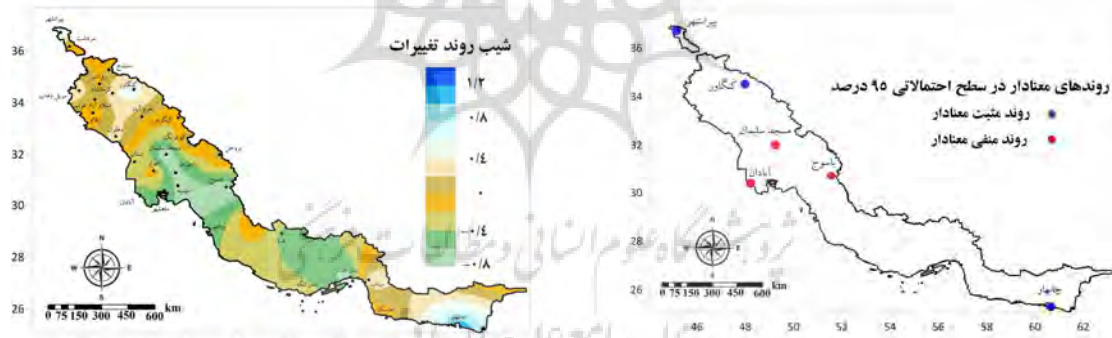
شکل ۱۱: توزیع فضایی میانگین بلندمدت حداکثر بارش های یک روزه (Rx1day)، سه روزه (Rx3day) و پنج روزه (Rx5day) در حوضه آبریز خلیج فارس و دریای عمان (۱۹۹۳-۲۰۲۲)

تحلیل روند تغییرات حداکثر بارش های یک روزه (Rx1day)، سه روزه (Rx3day) و پنج روزه (Rx5day) نیز تقریباً الگوهای فضایی یکسانی را نشان می دهدن. ایستگاه هایی که روند آنها کاهشی بوده است بیشتر در مرکز حوضه آبریز و ایستگاه هایی که روند آنها افزایشی بوده است بیشتر در گوشه های شرقی و غربی حوضه آبریز تمرکز داشته اند (شکل ۱۲، ۱۳ و ۱۴). برای نمایه حداکثر بارش های یک روزه (Rx1day) ۱۷ ایستگاه موجود در داخل حوضه آبریز دارای روند کاهشی، ۱۱ ایستگاه دارای روند افزایشی و ۱ ایستگاه نیز فاقد روند بود است (شکل ۱۲). ایستگاه هایی که روندهای آنها از لحاظ آماری برای این فرین بارشی معنادار بوده اند بسیار اندک و محدود به ۶ ایستگاه بوده اند (شکل ۱۲). ایستگاه های چابهار، کنگاور و پیرانشهر روند افزایشی و ایستگاه های آبادان، مسجد سلیمان و یاسوج نیز روند کاهشی آنها در سطح احتمالاتی ۹۵ درصد معنادار بوده است (شکل ۱۲).

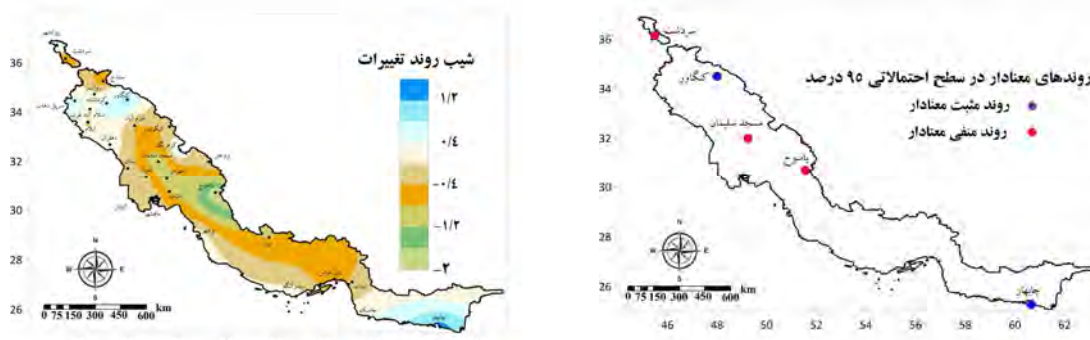


شکل ۱۲: توزیع فضایی مقادیر شیب روند تغییرات بلندمدت حداکثر بارش‌های یک روزه (Rx1day) بر حسب میلی‌متر در ۳۰ سال و نام و موقعیت جغرافیایی ایستگاه‌های دارای روندهای معنادار در سطح اطمینان ۹۵ درصد در حوضه آبریز خلیج فارس و دریای عمان (۲۰۲۲-۱۹۹۳)

برای حداکثر بارش‌های سه روزه (Rx3day) مشاهده می‌شود که ۱۷ ایستگاه دارای روند کاهشی و ۱۲ ایستگاه نیز روند آنها افزایشی بوده است (شکل ۱۳). ایستگاه‌هایی که روندهای آنها برای این فرین بارشی در سطوح احتمالاتی ۹۵ درصد معنادار بوده‌اند، محدود به ۵ ایستگاه بوده‌اند (شکل ۱۳). روند تغییرات سه ایستگاه چابهار، پیرانشهر و کنگاور افزایشی و روند تغییرات سه ایستگاه مسجد سلیمان، آبادان و یاسوج در سطح اطمینان ۹۵ درصد کاهشی بوده‌اند (شکل ۱۳).



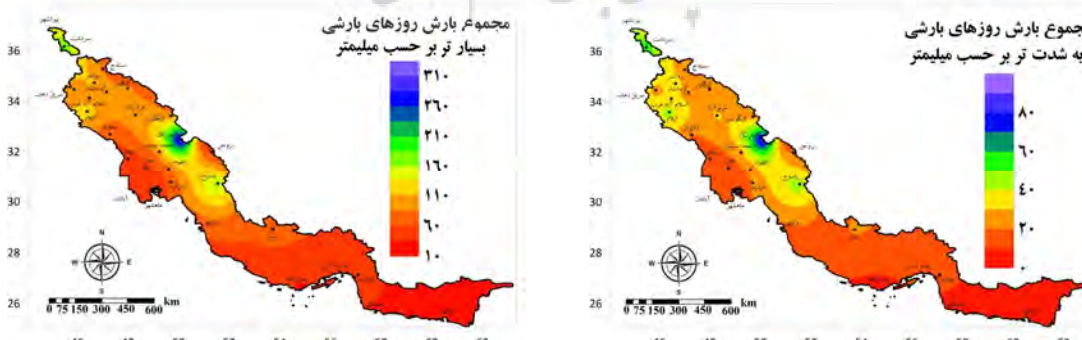
شکل ۱۳: توزیع فضایی مقادیر شیب روند تغییرات بلندمدت حداکثر بارش‌های سه روزه (Rx3day) بر حسب میلی‌متر در ۳۰ سال و نام و موقعیت جغرافیایی ایستگاه‌های دارای روندهای معنادار در سطح اطمینان ۹۵ در حوضه آبریز خلیج فارس و دریای عمان (۲۰۲۲-۱۹۹۳) برای حداکثر بارش‌های پنج روزه (Rx5day) نیز ۱۶ ایستگاه روندهای آنها کاهشی و ۱۳ ایستگاه روندهای آنها افزایشی بوده است (شکل ۱۴) که روندهای ۵ ایستگاه آن در سطح اطمینان ۹۵ درصد معنادار بوده‌اند (شکل ۱۴). دو ایستگاه چابهار و کنگاور روند افزایشی و سه ایستگاه مسجد سلیمان، سردشت و یاسوج نیز روند کاهشی داشته‌اند.



شکل ۱۴: توزیع فضایی مقادیر شیب روند تغییرات بلندمدت حداقل بارش های پنج روزه ($Rx5day$) بر حسب میلی متر در ۳۰ سال و نام و موقعیت جغرافیایی ایستگاه های دارای روندهای معنادار در سطح اطمینان ۹۵ درصد در حوضه آبریز خلیج فارس و دریای عمان (۲۰۲۲-۱۹۹۳)

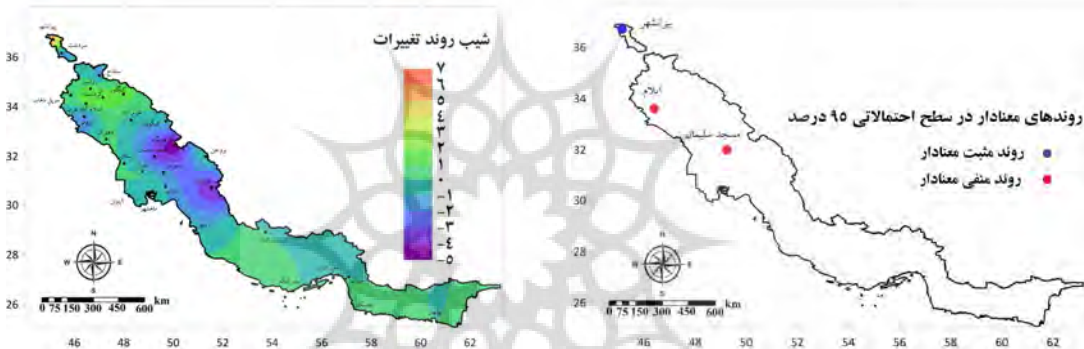
مجموع بارش سالانه روزهای بارشی بسیار تر (R95p) و بهشدت تر (R99p)

مجموع بارش سالانه روزهای بارشی بسیار تر (R99p) و بهشدت تر (R95p) دو نمایه فرین بارشی دیگری هستند که برای تمامی ایستگاه های هواشناسی هم دید واقع در حوضه آبریز خلیج فارس و دریای عمان محاسبه شدند. این دو نمایه فرین بارشی از جمع بارش روزهایی که بارش آنها به ترتیب بالاتر از صدک نود پنج و نودونه بوده اند به دست می آید. آرایش فضایی این دو نمایه فرین بارشی همچون دیگر نمایه های فرین بارشی تابعی از وضعیت توپوگرافی حوضه آبریز مورد مطالعه است. به عبارت دیگر، بالاترین مقادیر این دو نمایه منطبق بر ارتفاعات بلند رشته کوه های زاگرس (کوه های دنا و زرد کوه) و پایین ترین آنها منطبق بر نواحی پست و جلگه ای جنوب شرق و جنوب غرب حوضه آبریز خلیج فارس و دریای عمان هستند (شکل ۱۵). بیشترین مجموع بارش سالانه روزهای بارشی بسیار تر (R95p) به ترتیب مربوط به ۳ ایستگاه کوهرنگ (۳۱۹/۳ میلی متر)، سردشت (۱۹۴/۳ میلی متر) و یاسوج (۱۷۳/۳ میلی متر) و کمترین آن نیز متعلق به ایستگاه های چابهار (۲۶/۹ میلی متر)، جاسک (۳۱ میلی متر) و بندرلنگه (۳۱/۴ میلی متر) بوده است (شکل ۱۵). اما برای مجموع بارش سالانه روزهای بارشی بهشدت تر (R99p) به ترتیب بالاترین و پایین ترین مقادیر مربوط به دو ایستگاه کوهرنگ (۲۰/۰ میلی متر) و جاسک (۱۰/۰ میلی متر) بوده است (شکل ۱۵).



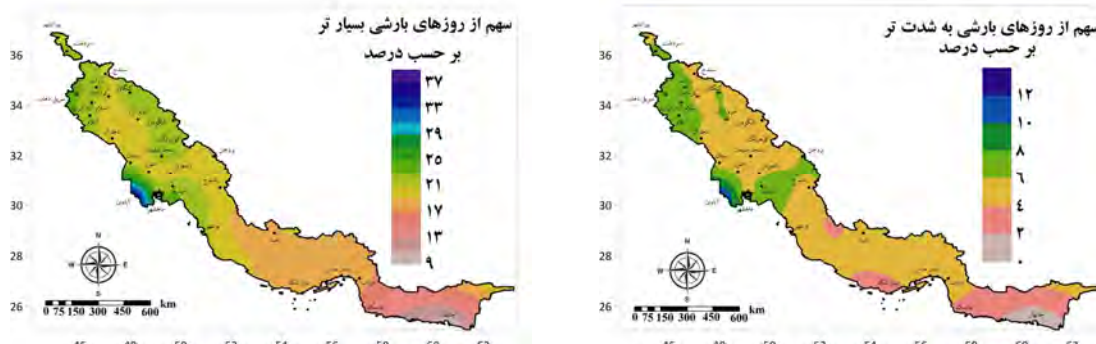
شکل ۱۵: توزیع فضایی میانگین بلندمدت مجموع بارش سالانه روزهای بارشی بسیار تر (R95p) و بهشدت تر (R99p) در حوضه آبریز خلیج فارس و دریای عمان (۱۹۹۳-۲۰۲۲)

با استفاده از روش تخمین‌گر شبیب سن، روند تغییرات بلند مدت این دو نمایه فرین بارشی نیز مورد توجه قرار گرفت. اما با توجه به اینکه برای ۲۹ ایستگاه مورد مطالعه در حوضه آبریز خلیج فارس و دریای عمان روندی در نمایه مجموع بارش سالانه روزهای بارشی بهشت (R99p) مشاهد نشد؛ بنابراین تحلیلی از روند این نمایه در اختیار قرار نمی‌گیرد. اما برای نمایه مجموع بارش سالانه روزهای بارشی بسیار تر (R95p) مشاهده شد که ۱۹ ایستگاه دارای روند افزایشی، ۹ ایستگاه دارای روند کاهشی و ۱ ایستگاه نیز فاقد روند بوده است (شکل ۱۶). ایستگاه‌های دارای روند کاهشی بیشتر در نیمه غربی و ایستگاه‌های دارای روند افزایشی بیشتر در نیمه شرقی حوضه مرکز بودند (شکل ۱۶). در بین ایستگاه‌های دارای روند افزایشی تنها ایستگاه پیرانشهر در سطح اطمینان ۹۵ درصد روند آن از لحاظ آماری معنادار بوده است و در بین ایستگاه‌های دارای روند کاهشی نیز تنها دو ایستگاه مسجد سلیمان و ایلام روند آنها از لحاظ آماری معنادار بوده است (شکل ۱۶).



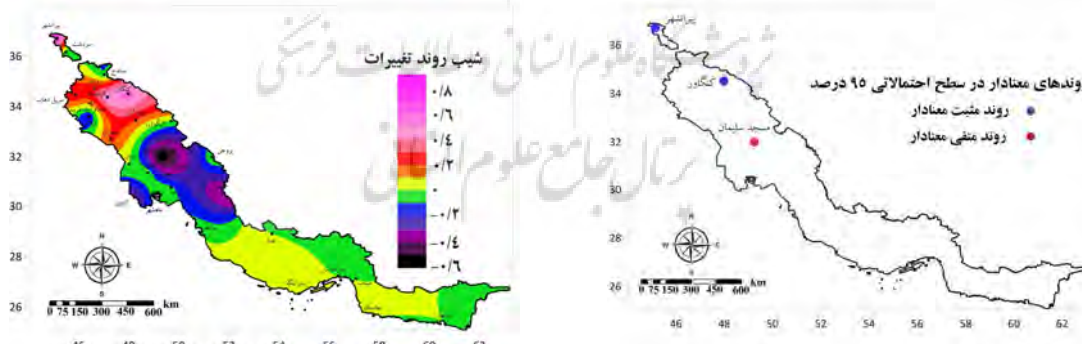
شکل ۱۶: توزیع فضایی مقادیر شبیب روند تغییرات بلندمدت مجموع بارش سالانه روزهای بارشی بسیار تر (R95p) (بر حسب میلی‌متر در ۳۰ سال و نام و موقعیت جغرافیایی ایستگاه‌های دارای روندهای معنادار در سطح اطمینان ۹۵ درصد برای مجموع بارش سالانه روزهای بارشی بسیار تر (R95p) در حوضه آبریز خلیج فارس و دریای عمان (۱۹۹۳-۲۰۲۲))

سهم از روزهای بارشی بسیار تر (R95pTOT) و بهشت تر (R99pTOT) سهم از روزهای بارشی بسیار تر (R95pTOT) و بهشت تر (R99pTOT) دو نمایه مهم از فرین‌های بارشی هستند که روند تغییرات بلندمدت آنها کمک شایانی به فهم تغییرات بارشی در یک حوضه آبریز خواهد داشت. سهم از روزهای بارشی بسیار تر (R95pTOT) و بهشت تر (R99pTOT) در واقع نسبت مجموع بارش روزهای بارش های بالاتر از دو صدک نودوپنج و نودونه به مجموع بارش های باریده شده در یک سال می‌باشد. در شکل ۱۷ نقشه توزیع فضایی این دو نمایه فرین بارشی برای حوضه آبریز خلیج فارس و دریای عمان ترسیم شده است. همان‌گونه که در شکل ۱۷ مشاهده می‌شود بالاترین سهم از روزهای بارشی بسیار تر (R95pTOT) و بهشت تر (R99pTOT) متعلق به نیمه غربی و پایین‌ترین سهم‌ها نیز متعلق به نیمه شرق حوضه آبریز است. ایستگاه آبادان با ۳۶/۵ درصد و ایستگاه جاسک با ۹/۳ درصد به ترتیب بالاترین و پایین‌ترین مقادیر سهم از روزهای بارشی بسیار تر (R95pTOT) را در بین ایستگاه‌های مورد مطالعه داشته‌اند (شکل ۱۷). به عبارت دیگر، ۳۶/۵ درصد از مجموع بارش‌هایی که در آبادان و ۹/۳ درصد از مجموع بارش‌هایی که در جاسک باریده‌اند متعلق به روزهای تری بوده‌اند که مقدار بارش آنها بالاتر از صدک نودوپنجم بوده است. اما ایستگاه‌های دارای بالاترین و پایین‌ترین سهم از روزهای بارشی بهشت تر (R99pTOT) به ترتیب متعلق به آبادان (۱۲/۲ درصد) و چابهار (۰/۲ درصد) بوده است.



شکل ۱۷: توزیع فضایی میانگین بلندمدت سهم از روزهای بارشی بسیار تر (R95pTOT) میانگین بلندمدت سهم از روزهای بارشی به شدت تر (R99pTOT) در حوضه آبریز خلیج فارس و دریای عمان (۱۹۹۳-۲۰۲۲)

نتایج حاصل از تحلیل روند تغییرات بلندمدت سهم از روزهای بارشی بسیار تر (R95pTOT) و به شدت تر (R99pTOT) نشان می‌دهد که برای نمایه فرین سهم از روزهای بارشی به شدت تر (R99pTOT) هیچ روند کاهشی یا افزایشی برای ۲۹ ایستگاه مورد مطالعه در داخل حوضه آبریز خلیج فارس و دریای عمان مشاهده نشد. بنابراین برای این نمایه، تحلیل روندی انجام نشد. اما با ترسیم نقشه توزیع فضایی مقادیر روند تغییرات بلندمدت سهم از روزهای بارشی بسیار تر (R95pTOT) مشاهده شد که بخش مرکزی حوضه آبریز دارای روندهای کاهشی و بخش غربی آن دارای روندهای افزایش بوده‌اند. برای بخش شرقی حوضه آبریز نیز روندهای قابل توجهی مشاهده نشد (شکل ۱۸). اما تعداد ایستگاه‌هایی که روندهای آنها در سطح اطمینان ۹۵ درصد معنادار بوده‌اند به سه ایستگاه پیرانشهر، کنگاور و مسجد سلیمان محدود شده‌اند (شکل ۱۸). روند افزایشی دو ایستگاه پیرانشهر و کنگاور و روند کاهشی ایستگاه مسجد سلیمان در سطح اطمینان ۹۵ درصد معنادار بوده‌اند (شکل ۱۸).

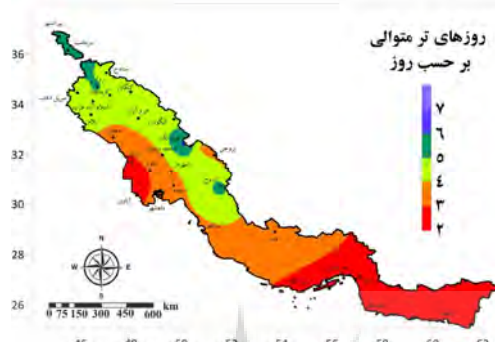


شکل ۱۸: توزیع فضایی مقادیر شیب روند تغییرات بلندمدت سهم از روزهای بارشی بسیار تر (R95pTOT) بر حسب درصد در ۳۰ سال و نام و موقعیت جغرافیایی ایستگاه‌های دارای روندهای معنادار در سطح اطمینان ۹۵ درصد برای سهم از روزهای بارشی بسیار تر (R95pTOT) در حوضه آبریز خلیج فارس و دریای عمان (۱۹۹۳-۲۰۲۲)

روزهای تر متوالی (CWD)

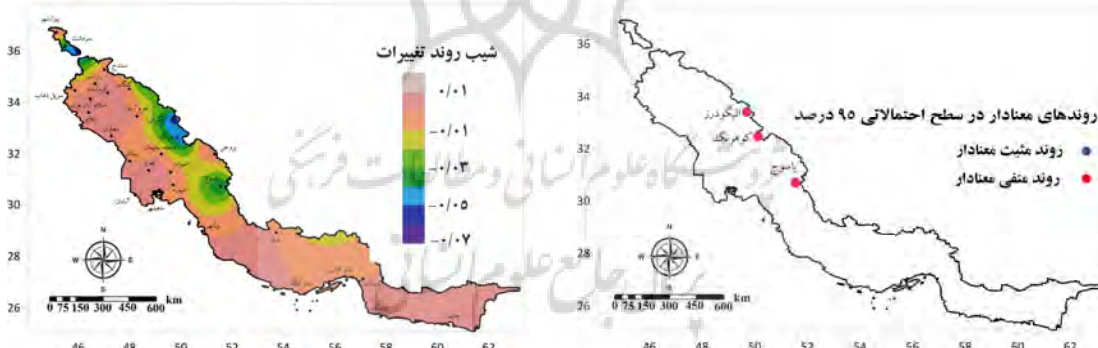
حداکثر روزهای تر متوالی در یک مقیاس سالانه برای تمامی ایستگاه‌های مورد مطالعه در حوضه آبریز خلیج فارس و دریای عمان استخراج و نقشه توزیع فضایی آن ترسیم گردید (شکل ۱۹). بر اساس این نقشه مشاهده می‌شود که

ایستگاه‌های کوهرنگ، سرداشت و پیرانشهر به ترتیب با ۶/۴، ۵/۹ و ۵/۶ روز بالاترین و ایستگاه‌های چابهار، جاسک و بندرعباس نیز به ترتیب ۲/۱، ۲/۶ و ۲/۷ روز پایین‌ترین میانگین روزهای تر متوالی را داشته‌اند. به‌طورکلی میانگین روزهای تر متوالی در نیمه غربی حوضه آبریز بیشتر از نیمه شرقی آن است.



شکل ۱۹: توزیع فضایی میانگین حداکثر روزهای تر متوالی (CWD) در حوضه آبریز خلیج فارس و دریای عمان (۱۹۹۳-۲۰۲۲)

نتایج حاصل از تحلیل روند حداکثر طول روزهای تر متوالی نیز نشان می‌دهند که حدود ۸۶ درصد ایستگاه‌ها معادل با ۲۵ ایستگاه از ۲۹ ایستگاه مورد مطالعه فاقد هر گونه روند افزایشی یا کاهشی بوده‌اند. چهار ایستگاه باقیمانده یعنی ایستگاه‌های سرداشت، یاسوج، کوهرنگ و الیگودرز تنها چهار ایستگاهی بودند که روند کاهشی در سری‌های زمانی حداکثر روزهای متوالی آنها مشاهده شده است (شکل ۲۰). اما تنها روند تغییرات بلند مدت سه ایستگاه یاسوج، کوهرنگ و الیگودرز در سطح اطمینان ۹۵ درصد معنادار بوده است (شکل ۲۰).

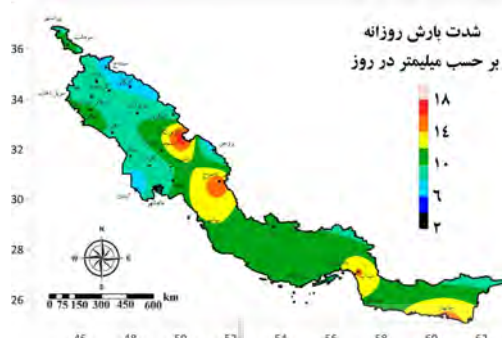


شکل ۲۰: توزیع فضایی مقادیر شیب روند تغییرات بلندمدت حداکثر روزهای تر متوالی (CWD) بر حسب روز در ۳۰ سال و نام و موقعیت جغرافیایی ایستگاه‌های دارای روندهای معنادار در سطوح احتمالاتی مختلف برای حداکثر روزهای تر متوالی (CWD) در حوضه آبریز خلیج فارس و دریای عمان (۱۹۹۳-۲۰۲۲)

شدت بارش روزانه (SDII)

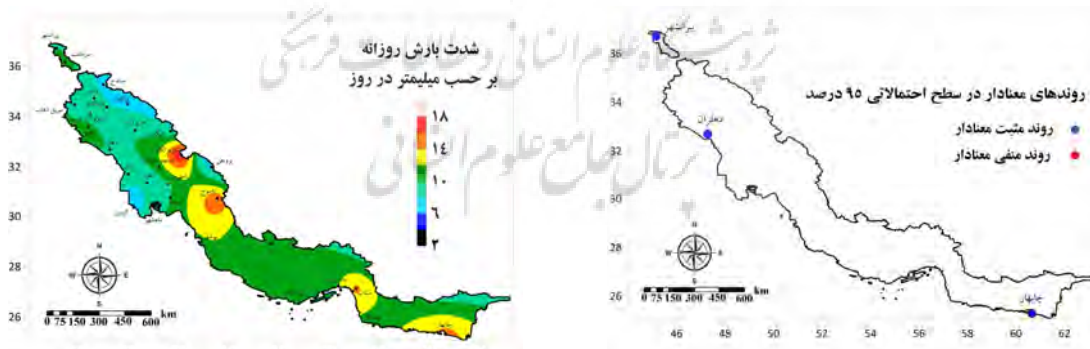
شدت بارش روزانه (SDII) که از تقسیم مجموع بارش سالانه بر تعداد روزهای تر به دست می‌آید برای تمامی ایستگاه‌های مورد مطالعه در حوضه آبریز خلیج فارس و دریای عمان محاسبه و استخراج شدند. توزیع فضایی میانگین بلندمدت این نمایه از فرین بارشی نشان می‌دهد که شدت بارش‌ها در مرکز و شرق حوضه آبریز در مقایسه

با غرب آن بیشتر است (شکل ۲۱). شدت بارش های روزانه این حوضه آبریز بین دو عدد $18/9$ میلی متر در روز برای ایستگاه کوهرنگ و $7/2$ میلی متر در روز برای ایستگاه بروجن در تغییر است (شکل ۲۱).



شکل ۲۱: توزیع فضایی میانگین شدت بارش روزانه (SDII) در حوضه آبریز خلیج فارس و دریای عمان (۱۹۹۳-۲۰۲۲)

تحلیل روند تغییرات بلندمدت شدت بارش های روزانه این حوضه آبریز نیز نشان می دهد که حدود $5/3$ درصد ایستگاه های مورد مطالعه دارای روند افزایشی و $4/7$ درصد آنها نیز دارای روند کاهشی بوده اند. اما لازم به یادآوری است که مقدار شیب روند تغییرات از ایستگاهی به ایستگاه دیگر بسیار متفاوت بوده است، به طوری که بالاترین و پایین ترین مقدار شیب تغییرات افزایشی به ترتیب مربوط به دو ایستگاه چابهار و بندرنگ و بالاترین و پایین ترین آن برای روندهای کاهشی متعلق به ایستگاه های کوهرنگ و اسلام آباد غرب بوده است. از لحاظ توزیع فضایی نیز روندهای کاهشی متعلق به مرکز حوضه آبریز و روندهای افزایشی در شرق حوضه آبریز مشاهده می شود (شکل ۲۲). از بین تمامی ایستگاه های مورد مطالعه تنها سه ایستگاه چابهار، دهگان و پیرانشهر روندهای آنها در سطح اطمینان 95 درصد معنادار بوده اند (شکل ۲۲).



شکل ۲۲: توزیع فضایی مقادیر شیب روند تغییرات بلندمدت شدت بارش روزانه (SDII) بر حسب روز در 30 سال و نام و موقعیت جغرافیایی ایستگاه های دارای روندهای معنادار در سطوح احتمالاتی مختلف برای شدت بارش روزانه (SDII) در حوضه آبریز خلیج فارس و دریای عمان (۱۹۹۳-۲۰۲۲)

نتیجه گیری

تحلیل روند فرین های بارشی حوضه آبریز خلیج فارس و دریای عمان الگوهای زمانی و فضایی بسیار متفاوتی را نشان دادند. اگر حوضه آبریز خلیج فارس و دریای عمان را به سه بخش غربی (شامل زیر حوضه های آبریز هندیجان -

جراحی، کارون، کرخه و مرزی غربی)، مرکزی (شامل زیر حوضه‌های آبریز کل - مهران، مند و حله) و شرقی (شامل زیر حوضه‌های آبریز بلوچستان جنوبی و بندرعباس - سدیج) تقسیم نمود، نتایج حاکی از وجود روند کاهشی در میزان بارش سالانه برای بخش‌های غربی و مرکزی و وجود روند افزایشی برای بخش‌های شرقی حوضه آبریز مورد مطالعه بوده است. مقایسه این نتایج با نتایج مسعودیان و دارند (۱۳۹۲) که روند افزایشی در میزان بارش سالانه برای بخش غربی و مرکزی حوضه آبریز خلیج فارس و دریای عمان به دست آورده بودند، بسیار متفاوت است.

طمئناً تفاوت دوره زمانی این دو پژوهش و همچنین وقوع خشکسالی‌های شدید و طولانی‌مدت در دو دهه اخیر می‌توانند مهم‌ترین دلایل در تفاوت نتایج این دو پژوهش باشند. وجود همین روندهای کاهشی در میزان بارش‌های سالانه در بخش‌های غربی و مرکزی حوضه آبریز خلیج فارس و دریای عمان باعث شده است که بسیاری از فرین‌های بارشی دستخوش تغییرات بسیار زیادی گردند. شاخص حداکثر طول دوره‌های خشک در این دو بخش از حوضه آبریز مورد مطالعه افزایش پیدا کرده است. تعداد روزهای با بارش‌های سنگین (بیشتر از ۱۰ میلی‌متر)، بسیار سنگین (بیشتر از ۲۰ میلی‌متر)، فوق سنگین (بیشتر از ۳۰ میلی‌متر)، حداکثر بارش‌های یک روزه، سه روزه و پنج روزه نیز مهم‌ترین شاخص‌های فرینی بودند که روند آنها در طول دوره سی ساله مورد مطالعه (بیشتر از ۱۹۹۳-۲۰۲۲) کاهشی بوده است. اما بخش شرقی حوضه آبریز مورد مطالعه شرایط بسیار متفاوت‌تری از دو بخش غربی و شرقی نشان می‌دهند. روند حداکثر طول دوره‌های خشک در این بخش از حوضه آبریز کاهشی بوده است. تعداد روزهای با بارش‌های سنگین (بیشتر از ۱۰ میلی‌متر)، بسیار سنگین (بیشتر از ۲۰ میلی‌متر)، فوق سنگین (بیشتر از ۳۰ میلی‌متر)، حداکثر بارش‌های یک روزه، سه روزه و پنج روزه نیز افزایشی بوده است. مقایسه نتایج روند تغییرات بلندمدت این شاخص‌ها با نتایج تحلیل روند تغییرات بلندمدت مسعودیان و دارند (۱۳۹۲) تفاوت‌های زیادی نشان می‌دهد. مسعودیان و دارند (۱۳۹۲) برای بیشتر شاخص‌های فرین بارشی برای بخش غربی و مرکزی حوضه آبریز خلیج فارس و دریای عمان روند افزایشی را گزارش داده بودند.

همان‌گونه که پیشتر نیز بدان اشاره شد، تفاوت در نتایج این دو پژوهش، فاصله طولانی (حدود ۲۰ سال) دوره زمانی مورد مطالعه در این دو پژوهش و همچنین وقوع خشکسالی‌های شدید و طولانی‌مدت در دو دهه اخیر در ایران بوده است. بنابراین، با توجه به تغییرات مشاهده شده در فرین‌های بارشی این حوضه آبریز لازم است که توجه ویژه‌ای به حوضه آبریز بلوچستان جنوبی در شرق حوضه شود. چون با توجه به روند افزایشی فرین‌های بارشی در این زیر حوضه وقوع بارش‌های سیل آسا می‌تواند تبدیل به یکی از ویژگی‌های ذاتی اقلیم این زیر حوضه آبریز گردد.

علاوه بر این زیر حوضه، زیر حوضه آبریز مرزی غربی نیز دارای چنین شرایطی است و این زیر حوضه نیز که در بخش غربی حوضه آبریز خلیج فارس و دریای عمان نیاز به توجه ویژه در راستای کاهش اثرات بارش‌های سیل آسا می‌باشد. اما جدا از این دو زیر حوضه، بقیه زیر حوضه‌های آبریز در غرب و مرکز حوضه آبریز خلیج فارس و دریای عمان در حال تجربه شرایط خشکتری هستند و امکان اینکه این شرایط در آینده تبدیل به یکی از ویژگی‌های پایدار اقلیمی این بخش‌ها از حوضه آبریز شوند، بسیار زیاد است. بنابراین، این دو بخش نیز نیاز به نگاه ویژه‌ای در جهت کاهش اثرات شدید خشکسالی‌های هستند.

تقدیر و تشکر

این مقاله بخشی از پژوهه "ارزیابی اثر تغییر اقلیم بر تغییر الگوهای بارشی حوضه آبریز خلیج فارس و دریای عمان در جنوب ایران" است که زیر نظر پژوهشگاه هوشناسی و علوم جو تهران به شماره اسناد ۱۵۲۰۱۲۰۵۷۰۲۹۵۱۳۹۰۱۱۱۳۲۹۰۰۰ به انجام رسیده است. بنابراین، نویسنده‌گان این مقاله از پژوهشگاه هوشناسی و علوم جو تهران بابت حمایت‌های مالی و معنوی سپاسگزاری می‌کنند.

منابع

اسدی رحیم‌بیگی، نرگس؛ زین، آذر؛ مفیدی، عباس؛ داداشی روباری، عباسعلی. (۱۴۰۰). تحلیل پراکنش فصلی بارش‌های فرین در ایران با استفاده از پایگاه AgERA5. *تحقيق‌ات آب و خاک ایران*, ۱۱(۵۲)، ۲۷۳۷-۲۷۲۳.

اصلاحی، مهدی؛ پور اصغر، فرناز؛ اکبرزاده، یونس؛ امیدفر، محمد؛ شاهمناری، ناصر؛ درخشان، منصوری. (۱۴۰۱). تعیین نقاط حادثه‌خیز سیل و تحلیل آماری - همدیدی بارش‌های سیل آسا در استان آذربایجان شرقی. *نیوار*, ۴۶(۱۱۸)، ۸۸-۷۹.

برارخان پوراحمدی، صدیقه؛ غلامی سفیدکوهی، محمدعلی؛ خوش‌روشن، مجتبی. (۱۴۰۲). بررسی اثر پارامترهای هواشناسی بر رخدادهای بارشی شدید در اقلیم‌های مختلف ایران با استفاده از رگرسیون چندک. *حافظت منابع آب و خاک*, ۱۲(۳)، ۴۹-۳۳.

جوانشیری، زهره؛ عباسی، فاطمه. (۱۴۰۲). تحلیل مکانی روند بارش‌های سنگین فصلی و سالانه کشور با استفاده از رگرسیون چندک. *پژوهش‌های تغییرات آب‌وهواي*, ۱۵(۱)، ۵۴-۳۹.

جهانبخش اصل، سعید؛ ساری صراف، بهروز؛ عساکر، حسین؛ شیرمحمدی، سهیلا. (۱۳۹۹). واکاوی تغییرات زمانی - مکانی بارش‌های بحرانی (فرین بالا) در غرب ایران طی سال‌های ۲۰۱۶-۱۹۶۵. *تحلیل فضایی مخاطرات محیطی*, ۷(۱)، ۸۹-۱۰۶.

حلیان، امیرحسین. (۱۳۹۸). واکاوی روند نمایه‌های فرین بارش در حوضه کارون با بهره‌گیری از داده‌های شبکه‌ای *APHRODITE*. *فصلنامه جغرافیا (برنامه‌ریزی منطقه‌ای)*, ۹(۳۴)، ۱۳۸-۱۲۵.

دارند، محمد. (۱۳۹۴). تحلیل همدید بارش‌های سیل آسای استان کردستان. *تحقيق‌ات کاربردی علوم جغرافیایی*, ۱۵(۳۷)، ۷۰-۴۷.

سازمان منابع طبیعی و آبخیزداری کشور. (۱۴۰۰). داده‌های بانک اطلاعاتی خسارات سیل معاونت آبخیزداری، امور مراع و بیابان. <https://frw.ir>

رورده، همت الله؛ یوسفی، یدالله؛ معصوم پور سماکوش، جعفر؛ فیضی، وحید. (۱۳۹۳). تغییرپذیری زمانی - مکانی بارش‌های حدی در ایران. *جغرافیا و برنامه‌ریزی محیطی*, ۲۵(۲)، ۳۶-۲۵.

صادقی، حدیث؛ محمدی، حسین؛ شمسی پور، علی‌اکبر؛ بازگیر، سعید؛ کریمی احمد آباد، مصطفی؛ صوفی زاده، سعید. (۱۳۹۸). دورنمای تغییرات نمایه‌های بارش سواحل جنوبی دریای خزر در دوره ۲۰۲۱-۲۰۵۰ برای کاهش مخاطرات. *مدیریت مخاطرات محیطی*, ۶(۴)، ۴۲۱-۴۹۵.

عساکر، حسین. (۱۳۸۹). تحلیل تغییرات بارش‌های فرین شهر زنجان. *پژوهش‌های اقلیم‌شناسی*, ۲۱(۱-۲)، ۱۰۰-۸۹.

عساکر، حسین. (۱۳۹۱). تحلیل تغییرات مؤلفه‌های مبنای نمایه‌های فرین بارش شهر زنجان. *فصلنامه تحقیقات جغرافیایی*, ۲۷(۲)، ۵۹-۱۸۰.

عساکر، حسین؛ شاهبایی کوتایی، علی. (۱۴۰۲). تحلیل روند زمانی - مکانی فراوانی فرین‌های بارش روزانه ایران. *علوم آب و خاک*, ۲۷(۲)، ۲۲۲-۰۹-۲۰.

عساکر، حسین؛ ترکارانی، فاطمه؛ سلطانی، صغیری. (۱۳۹۱). مشخصات زمانی - مکانی بارش‌های روزانه فرین بالا در شمال غرب ایران. *تحقیقات منابع آب ایران*, ۸(۳)، ۵۳-۳۹.

علیجانی، بهلول؛ محمودی، پیمان؛ چوگان، عبدالجبار. (۱۳۹۱) بررسی روند تغییرات بارش‌های سالانه و فصلی ایران با استفاده از روش

- فرهود، صدیقه؛ خورانی، اسدآ.؛ افتخاریان، عباس. (۱۴۰۲). آشکارسازی تغییرات رخدادهای حدی دما و بارش با دوره‌های بازگشت مختلف در ایران. *تحلیل فضایی مخاطرات محیطی*, ۱۰(۲)، ۱۴۹-۱۶۶.
- قصابی، زهرا؛ صالحی، حسن؛ خان سالاری، سکینه. (۱۴۰۱). مطالعه‌ی نمایه‌های فرین اقلیمی در استان کهگیلویه و بویراحمد، پژوهش‌های اقلیم‌شناسی، ۱۳(۵۲)، ۲۰۶-۱۹۳.
- محمودی، پیمان؛ فتاحی، ابراهیم؛ حیدری، محسن؛ ریگی، الدبخش؛ قائمی، علیرضا؛ رضائی، جبار؛ انصاری؛ عاطفه. (۱۴۰۳). تحلیل روند تغییرات بلندمدت شاخص تراکم بارش (PCI) روزانه به عنوان شاخصی از تغییر اقلیم در حوضه آبریز خلیج فارس و دریای عمان. *حافظت منابع آب و خاک*, ۱۴(۲)، ۶۲-۴۹.
- مسعودیان، سید ابوالفضل؛ دارند، محمد. (۱۳۹۲). شناسایی و بررسی تغییرات نمایه‌های بارش فرین ایران طی دهه‌های اخیر. *جغرافیا و توسعه ناحیه‌ای*, ۱۱(۱)، ۲۵۷-۲۳۹.
- مظفری، غلامعلی؛ مزیدی، احمد؛ شفیعی، شهاب. (۱۳۹۶). واکاوی روابط فضایی بارش‌های فرین غرب ایران. *جغرافیا و توسعه*, ۱۵(۴۶)، ۱۸۴-۱۶۹.
- ملبوسی، شراره؛ زابل عباسی، فاطمه؛ پاکدامن، مرتضی؛ جوانشیری، زهره. (۱۴۰۲). بررسی تغییرات مقادیر حدی دما و بارش ایران در ۶۰ سال گذشته. *پژوهش‌های اقلیم‌شناسی*, ۱۴(۵۴)، ۱۷۲-۱۵۷.
- میان آبادی، آمنه؛ داوری، کامران. (۱۴۰۲). بررسی تغییرات مقدار و توزیع بارش و دما در ایران و اثرات آنها بر رخدادهای حدی. *آب و توسعه پایدار*, ۱۰(۲)، ۲۶-۱۳.
- میرزائی حستلو، ایوب؛ عرفانیان، مهدی؛ جوان، خدیجه؛ نجفی، محمدرضا. (۱۴۰۳). تحلیل روند شاخص‌های حدی بارش در ایران بر اساس مدل رگرسیون چندکی. *محیط زیست و مهندسی آب*, ۱۰(۴)، ۵۵۷-۵۴۱.
- نیکاندیش، نسرین. (۱۴۰۱). واکاوی آماری و تحلیل فضایی بارش‌های فرین دشت کاشان. *تحلیل فضایی مخاطرات محیطی*, ۹(۳)، ۱۷۷-۱۹۸.
- هرمزی، هدایت‌الله؛ برنا، رضا؛ ظهوریان منیزه. (۱۳۹۹). مطالعه روند تغییرات نمایه‌های حدی بارش در استان خوزستان. *محیط زیست و مهندسی آب*, ۶(۴)، ۵۰۹-۵۰۱.
- Ahmadi, F., Nazeri Tahroudi, M., Mirabbasi, R., Khalili, K. and Jhajharia, D. (2018). Spatiotemporal trend and abrupt change analysis of temperature in Iran. *Meteorological Applications*, 25, pp. 314-321.
- Asgharpour, S. E., Ajdari, B. (2011). A Case Study on Seasonal Floods in Iran, Watershed of Ghotour Chai Basin. *Procedia - Social and Behavioral Sciences*. 19, pp. 556-566.
- Ebadi, A. G., Toughani, M., Najafi, A., Babaee, M. (2020). A brief overview of current environmental issues in Iran. *Central Asian Journal of Environmental Science and Technology Innovation*, 1(1), pp. 1-11.
- Easterling, D. R., Alexander, L. V., Mokssit, A., Detemmerman, V. (2003). CCI/CLIVAR Workshop to develop priority climate indices. *Bulletin of the American Meteorological Society*, 8, 1403 – 1407. <https://doi.org/10.1175/BAMS-84-10-1403>
- Groisman, P., Knight, R., Easterling, D., Karl, T., Hegerl, G. and Razuvaev, V. (2005). Trends in Intense Precipitation in the Climate Record. *Journal of Climate*, 18(9) pp. 1326-1350.
- Karl, T. R., Nicholls, N., Ghazi, A. (1999). CLIVAR/GCOS/WMO workshop on indices and indicators for climate extremes: Workshop summary. *Weather and Climate Extremes*, 42, 3-7. doi: [10.1007/978-94-015-9265-9_2](https://doi.org/10.1007/978-94-015-9265-9_2)
- Manton, M. J., Della-Marta, P. M., Haylock, M. R., Hennessy, K. J., Nicholls, N., Chambers, L. E., Collins, D. A., Daw, G., Finet, A., Gunawan, D., Inape, K., Isobe, H., Kestin, T. S., Lefale, P., Leyu, C. H., Lwin, T., Maitrepierre, L., Ouprasitwong, N., Page, C. M., Pahalad, J., Plummer, N., Salinger, M. J., Suppiah, R., Tran, V. L., Trewn, B., Tibig, I. Yee, D. (2001). Trends in extreme daily rainfall and temperature in Southeast Asia and the South Pacific: 1961–1998. *International Journal of Climatology*, 21(3): pp. 269-284.
- Melville, C. (1984). Meteorological Hazards and Disasters in Iran: A Preliminary Survey to 1950. *Iran*, 22, pp. 113–150.
- Peterson, T.C., Folland, C., Gruza, G., Hogg, W., Mokssit, A. and Plummer, N. (2001). Report on the Activities of the Working Group on Climate Change Detection and Related Rapporteurs 1998-2001. World Meteorological Organization, Geneva, Rep. WCDMP-47, WMO-TD 1071, 143 p.
- Pryor, S., Howe, J., Kunkel, K. (2009). How spatially coherent and statistically robust are temporal changes in extreme precipitation in the contiguous USA? *International Journal of Climatology*, 29 (1), pp. 31-45.
- Sen, P. K. (1968) Estimates of the Regression Coefficient Based on Kendall's Tau. *Journal of the American Statistical Association*, 63(324), 1379-1389.
- Theil, H. (1950) A rank-invariant method of linear and polynomial regression analysis. *Indagationes Mathematicae*, 1(2), 85-89.

- Trenberth, K. E. (2011). Changes in precipitation with climate change. *Climate Research*, 47, pp. 123–138.
- Vaghefi, S.A., Keykhai, M., Jahanbakhshi, F., Sheikholeslami, J., Ahmadi, A., Yang, H., Abbaspour, K. C. (2019). The future of extreme climate in Iran. *Scientific Reports*, 9, 1464.
- Wu, H., Lau, W. (2016). Detecting climate signals in precipitation extremes from TRMM (1998-2013) - increasing contrast between wet and dry extremes during the “global warming hiatus”. *Geophysical Research Letters*, 43(3), pp. 1e9.
- Zittis, G., Almazroui, M., Alpert, P., Ciais, P., Cramer, W., Dahdal, Y., Fnais, M., Francis, D., Hadjinicolaou, P., Howari, F., Jrrar, A., Kaskaoutis, D. G., Kulmala, M., Lazoglou, G., Mihalopoulos, N., Lin, X., Rudich, Y., Sciare, J., Stenchikov, G., Xoplaki, E., Lelieveld, J. (2022). Climate change and weather extremes in the Eastern Mediterranean and Middle East. *Reviews of Geophysics*, 60, pp. e2021RG000762.



References

References (in Persian)

- Alijani, B., Mahmoudi, P. and Choghan, A. J. (2012) A Study of annual and seasonal precipitation trends in Iran using a nonparametric method (Sen's slope estimator). *Journal of Climate Research*, 3(6), 23-42. [In Persian]
- Asadi Rahim-Begi, N., Zarrin, A., Modfidi, A., Dadashi-Roudbari, A. (2022). Seasonal Distribution Analysis of Extreme Precipitation in Iran using AgERA5 dataset. *Iranian Journal of Soil and Water Research*, 52(11), pp. 2723-2737. [In Persian]
- Asakereh, H. (2011). Analyses of Changes in Extreme Precipitation in Zanjan. *Journal of Climate Research*, 1(1), pp. 89-100. [In Persian]
- Asakereh, H. (2012). A principle component of extreme indices of Zanjan city precipitation. *Geographical Research*, 27(2), pp. 1-18. [In Persian]
- Asakereh, H., Shahbaee Kotenaei, A. (2023). Analysis of the Temporal-Spatial Trend of Frequency of Daily Extremes Precipitation in Iran. *Journal of Water and Soil Science*, 27(2), pp 209-222. [In Persian]
- Asakereh, H., Tarkarani, F., Soltani, S. (2013). On Tempo-Spatial Characters of Extreme Daily Precipitation of Northwest of Iran. *Iran-Water Resources Research*, 8(3), pp. 39-53. [In Persian]
- Bararkhampour Ahmadi, S., Gholami Sefidkouhi, M. A., Khoshravesh, M. (2023). Investigating the Effect of Meteorological Parameters on Heavy Rainfall Events in Different Climates of Iran using Quantile Regression. *Journal of Water and Soil Resources Conservation*, 12(3), pp 33-49. [In Persian]
- Darand, M. (2015). Synoptic analysis of heavy precipitations of Kurdistan province. *Journal of Applied Researches in Geographical Sciences*, 15(37), pp 47-70. [In Persian]
- Eslahi, M., Pourasghar, F., Akbarzadeh, Y., Omidfar, M., Shahmary, A., Mansouri Derakhshan, N. (2022). Determining flood-prone points and statistical-synoptic analysis of torrential rains in East Azarbaijan province. *Nivar*, 46(18), pp 79-88. [In Persian]
- Farhood, S., Khoorani, A., Eftekharian, A. (2023). Detecting Trends in Extreme Temperature and Precipitation Events with Different Return Periods in Iran. *Journal of Spatial Analysis Environmental Hazards*, 10 (2), pp 149-166. [In Persian]
- Ghassabi, Z., Salehi, H., Khansalar, S. (2023). A study of the extreme climate indices in Kohgiluyeh and BoyerAhmad province of Iran. *Journal of Climate Research*, 13(52), pp. 193-206. [In Persian]
- Halabian, A. H. (2019). Trend analysis of extreme precipitation indices over Karoon basin using APHRODITE gridded data. *Geography (Regional Planning)*, 9(34), pp. 125-138. [In Persian]
- Hormozi, H., Borna, R., Zohourian, M. (2021). Investigation of the trend of changes in precipitation extreme indices in Khuzestan Province. *Environment and Water Engineering*, 6(4), pp 501-509. [In Persian]
- Jahanbakhsh asl, S., Sari Sarraf, B., Asakereh, H., Shirmohamadi, S. (2020). The study of temporal-spatial changes of high extreme rainfalls in the west of Iran (1965-2016). *Journal of Spatial Analysis Environmental Hazards*, 7(1), pp. 89-106. [In Persian]
- Javanshiri, Z., Abasi, F. (2023). Spatial analysis of seasonal and annual heavy precipitation trends in Iran using quantile regression. *Climate Change Research*, 4(15), pp. 39-54. [In Persian]
- Mahmoudi, P., Fattahi, E., Heydari, M., Rigi, A., Ghaemi, A., Rezaei, J., Ansari, A. (2024). Analyzing Long-Term Changes Trend of Precipitation Concentration Index (PCI) as an Indicator of Climate Change in the Persian Gulf and Oman Sea Basin. *Journal of Water and Soil Resources Conservation*, 14(2), pp. 49-62. [In Persian]
- Malboosi, S., Abbasi, F., Pakdaman, M., Javanshiri, Z. (2023). Investigation of changes in the extreme temperature and precipitation in Iran in the last 60 years. *Journal of Climate Research*, 1402(54), pp. 175-190. [In Persian]
- Masoodian, S. A., Darand, M. (2013). Analysis and recognition of variability in extreme precipitation indices in Iran During the previous decades. *Journal of Geography and Regional Development*, 11(1), pp 239-257. [In Persian]
- Mianabadi, A., Davary, K. (2023). Investigation of Changes in the Amount and Distribution of Precipitation and Temperature in Iran and Their Effects on Extreme Events. *Journal of Water and Sustainable Development*, 10(2), pp. 13-26. [In Persian]
- Mirzaei Hassanlu, A., Erfanian, M., Javan, K., Najafi, M. R. (2024). Trend Analysis of Precipitation Extreme Indices in Iran Based on Quantile Regression Model. *Environment and Water Engineering*, 10(4), pp 541-557. [In Persian]
- Mozafari, G., Mazidi, A., shafiey, S. (2017). Analyzing Spatial Relations of Extreme Precipitations of Western Iran. *Geography and Development*, 15(46), pp. 169-184. [In Persian]
- Natural Resources and Watershed Management Organization. (2023). The data of the flood damage database of the Deputy of Watershed Management, Pasture and Desert Affairs. <https://frw.ir> [In Persian]
- Nikandish, N. (2022). Statistical and spatial analysis of extreme precipitation in Kashan plain. *Journal of Spatial Analysis Environmental Hazards*, 9(3), pp. 177-198. [In Persian]
- Roradeh, H., Yousefi, Y., Masoompour Samakosh, J., Feizi, V. (2014). Temporal and Spatial Analysis of Extreme Precipitation characteristics in Iran. *Geography and Environmental Planning*, 25(2), pp. 25-36. [In Persian]

Sadeghi, H., Mohammadi, H., Shamsipour, A., Bazgeer, S., Karimi Ahmadabad, M., Soufizadeh, S. (2019). Projection of Changes in Precipitation Index of the Southern Coast of the Caspian Sea in Order to Hazards Reduction in the Periods of 2021-2050. *Environmental Management Hazards*, 6(4), pp. 395-421. [In Persian]

References (in English)

- Ahmadi, F., Nazeri Tahroudi, M., Mirabbasi, R., Khalili, K. and Jhajharia, D. (2018). Spatiotemporal trend and abrupt change analysis of temperature in Iran. *Meteorological Applications*, 25, pp. 314-321.
- Asgharpour, S. E., Ajdari, B. (2011). A Case Study on Seasonal Floods in Iran, Watershed of Ghoutour Chai Basin. *Procedia - Social and Behavioral Sciences*. 19, pp. 556-566.
- Ebadi, A. G., Toughani, M., Najafi, A., Babaei, M. (2020). A brief overview of current environmental issues in Iran. *Central Asian Journal of Environmental Science and Technology Innovation*, 1(1), pp. 1-11.
- Easterling, D. R., Alexander, L. V., Mokssit, A., Detemmerman, V. (2003). CCI/CLIVAR Workshop to develop priority climate indices. *Bulletin of the American Meteorological Society*, 8, 1403 – 1407. <https://doi.org/10.1175/BAMS-84-10-1403>
- Groisman, P., Knight, R., Easterling, D., Karl, T., Hegerl, G. and Razuvayev, V. (2005). Trends in Intense Precipitation in the Climate Record. *Journal of Climate*, 18(9) pp. 1326-1350.
- Karl, T. R., Nicholls, N., Ghazi, A. (1999). CLIVAR/GCOS/WMO workshop on indices and indicators for climate extremes: Workshop summary, *Weather and Climate Extremes*, 42, 3–7. doi: [10.1007/978-94-015-9265-9_2](https://doi.org/10.1007/978-94-015-9265-9_2)
- Manton, M. J., Della-Marta, P. M., Haylock, M. R., Hennessy, K. J., Nicholls, N., Chambers, L. E., Collins, D. A., Daw, G., Finet, A., Gunawan, D., Inape, K., Isobe, H., Kestin, T. S., Lefale, P., Leyu, C. H., Lwin, T., Maitrepierre, L., Ouprasitwong, N., Page, C. M., Pahalad, J., Plummer, N., Salinger, M. J., Suppiah, R., Tran, V. L., Trewhin, B., Tibig, I., Yee, D. (2001). Trends in extreme daily rainfall and temperature in Southeast Asia and the South Pacific: 1961–1998. *International Journal of Climatology*, 21(3): pp. 269-284.
- Melville, C. (1984). Meteorological Hazards and Disasters in Iran: A Preliminary Survey to 1950. *Iran*, 22, pp. 113–150.
- Peterson, T.C., Folland, C., Gruza, G., Hogg, W., Mokssit, A. and Plummer, N. (2001). Report on the Activities of the Working Group on Climate Change Detection and Related Rapporteurs 1998-2001. World Meteorological Organization, Geneva, Rep. WCDMP-47, WMO-TD 1071, 143 p.
- Pryor, S., Howe, J., Kunkel, K. (2009). How spatially coherent and statistically robust are temporal changes in extreme precipitation in the contiguous USA? *International Journal of Climatology*, 29 (1), pp. 31-45.
- Sen, P. K. (1968) Estimates of the Regression Coefficient Based on Kendall's Tau. *Journal of the American Statistical Association*, 63(324), 1379-1389.
- Theil, H. (1950) A rank-invariant method of linear and polynomial regression analysis. *Indagationes Mathematicae*, 1(2), 85–89.
- Trenberth, K. E. (2011). Changes in precipitation with climate change. *Climate Research*, 47, pp. 123–138.
- Vaghefi, S.A., Keykhai, M., Jahanbakhshi, F., Sheikholeslami, J., Ahmadi, A., Yang, H., Abbaspour, K. C. (2019). The future of extreme climate in Iran. *Scientific Reports*, 9, 1464.
- Wu, H., Lau, W. (2016). Detecting climate signals in precipitation extremes from TRMM (1998-2013) - increasing contrast between wet and dry extremes during the “global warming hiatus”. *Geophysical Research Letters*, 43(3), pp. 1e9.
- Zittis, G., Almazroui, M., Alpert, P., Caias, P., Cramer, W., Dahdal, Y., Fnais, M., Francis, D., Hadjinicolaou, P., Howari, F., Jrrar, A., Kaskaoutis, D. G., Kulmala, M., Lazoglu, G., Mihalopoulos, N., Lin, X., Rudich, Y., Sciare, J., Stenchikov, G., Xoplaki, E., Lelieveld, J. (2022). Climate change and weather extremes in the Eastern Mediterranean and Middle East. *Reviews of Geophysics*, 60, pp. e2021RG000762.